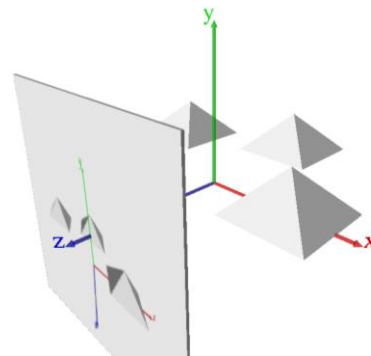
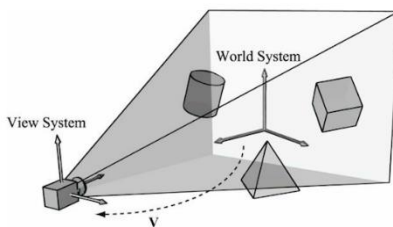


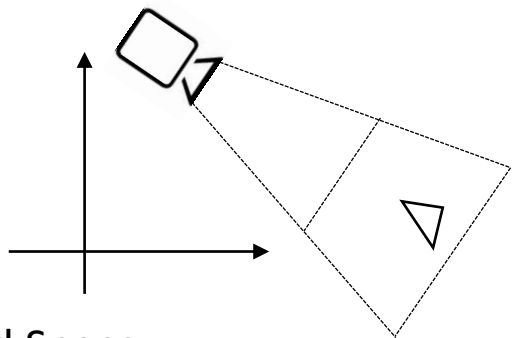
# GRK 3

Dr Wojciech Palubicki

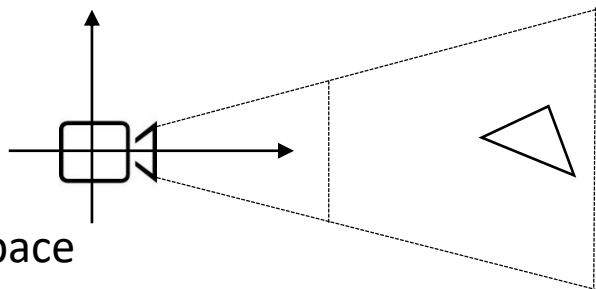
# Potok graficzny



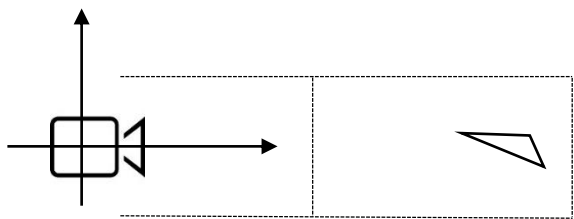
# Potok graficzny



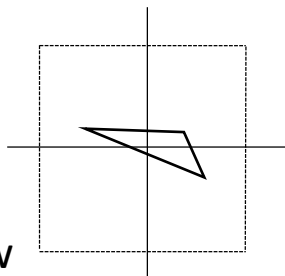
World Space



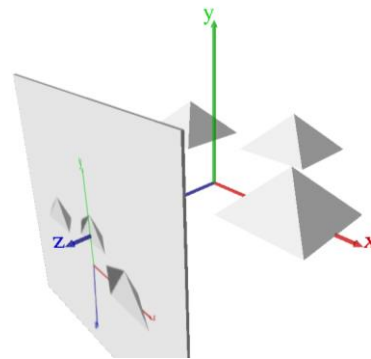
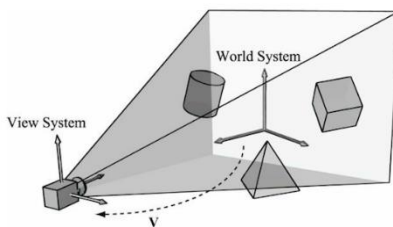
View Space



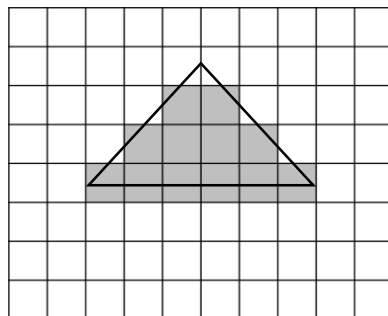
Orthographic view



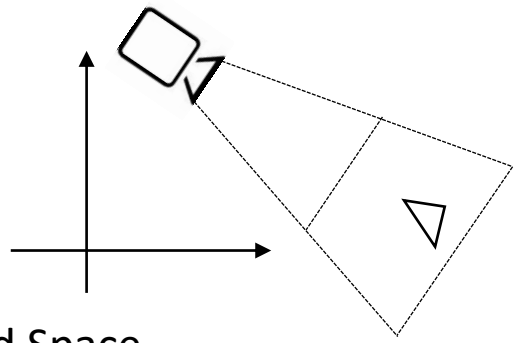
Canonincal view



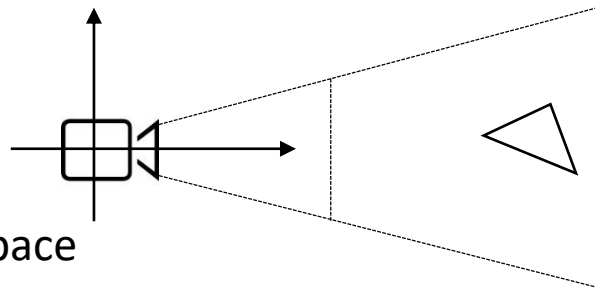
Window space



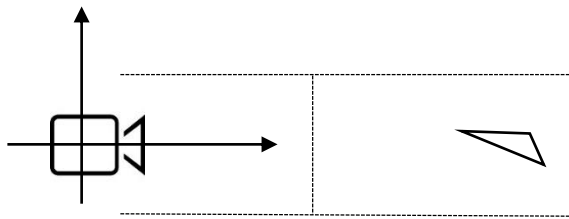
# Potok graficzny



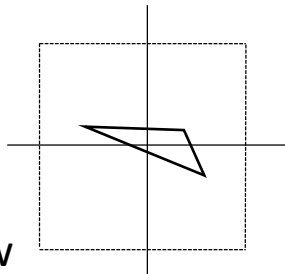
World Space



View Space

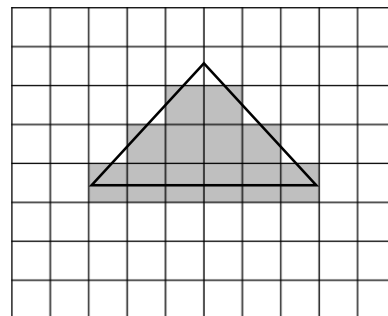


Orthographic view



Canonincal view

Window space



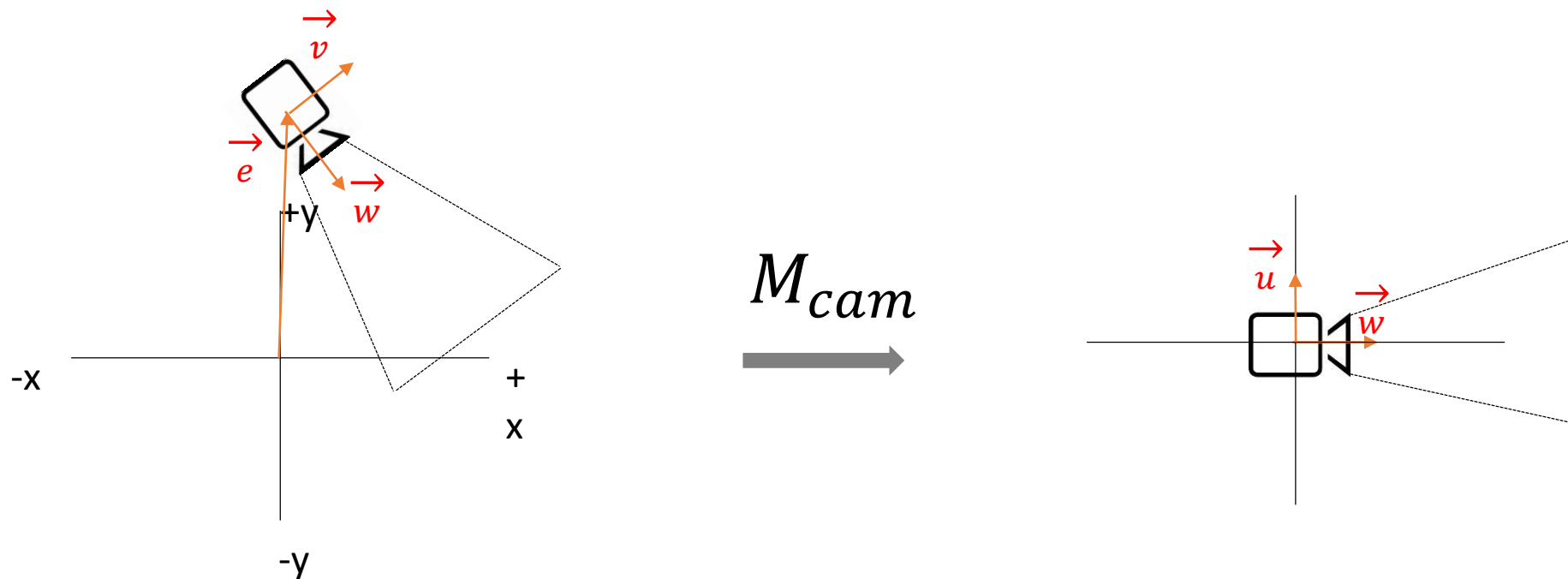
- Potok graficzny z **ortograficznym** rzutem:

$$M_{vp} M_{ort} M_{cam} \begin{bmatrix} x \\ y \\ z \\ 1 \end{bmatrix}$$

- Potok graficzny z **perspektywicznym** rzutem:

$$M_{vp} M_{per} M_{cam} \begin{bmatrix} x \\ y \\ z \\ 1 \end{bmatrix}$$

# Wyrównanie systemów współrzędnych

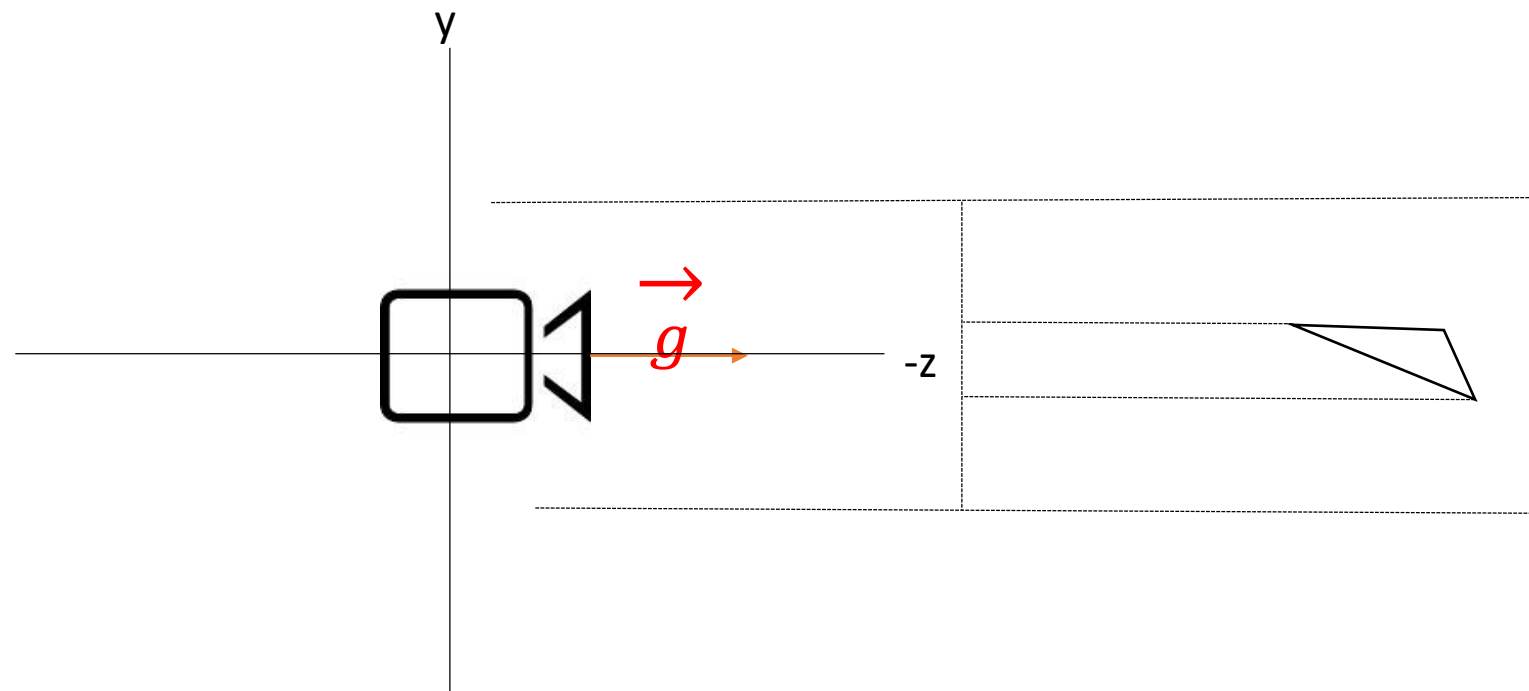


# $M_{cam}$

- Macierz transformacji z world space na view space jest wtedy:

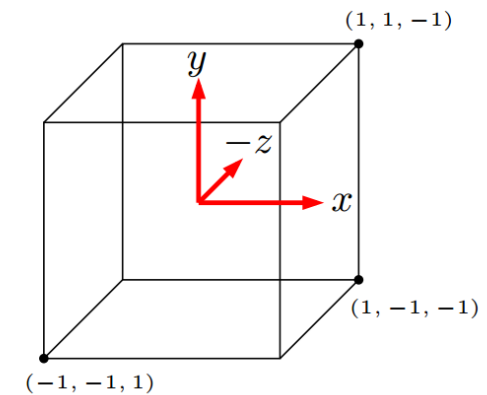
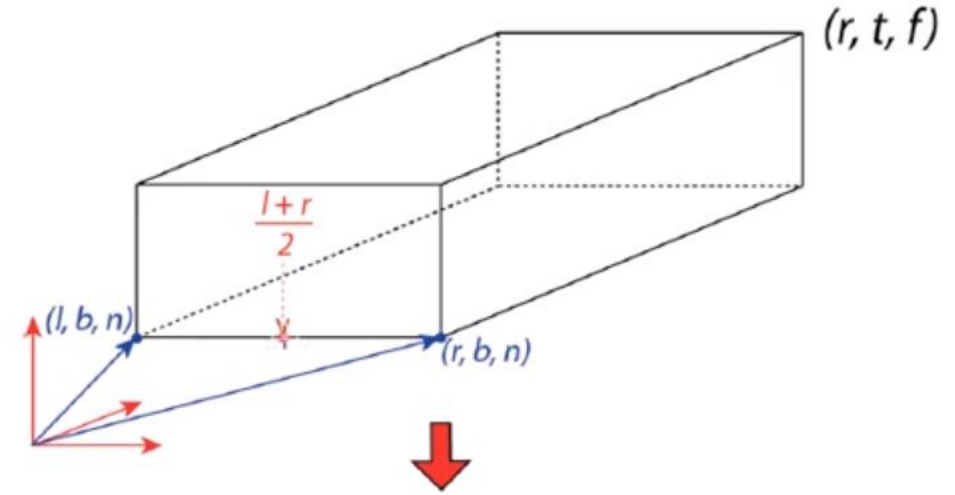
$$M_{cam} = \begin{bmatrix} u_x & u_y & u_z & 0 \\ v_x & v_y & v_z & 0 \\ w_x & w_y & w_z & 0 \\ 0 & 0 & 0 & 1 \end{bmatrix} \begin{bmatrix} 1 & 0 & 0 & -e_x \\ 0 & 1 & 0 & -e_y \\ 0 & 0 & 1 & -e_z \\ 0 & 0 & 0 & 1 \end{bmatrix}$$

# Rzutowanie równoległe



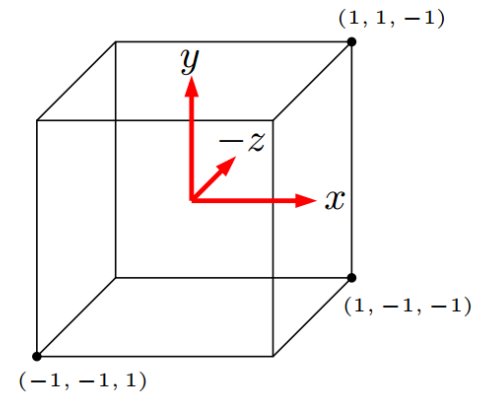
# Ortograficzna bryła widzenia

$$\bullet M_{orth} = \begin{bmatrix} \frac{2}{r-l} & 0 & 0 & -\frac{l+r}{r-l} \\ 0 & \frac{2}{t-b} & 0 & -\frac{b+t}{t-b} \\ 0 & 0 & \frac{2}{n-f} & -\frac{n+f}{n-f} \\ 0 & 0 & 0 & 1 \end{bmatrix}$$

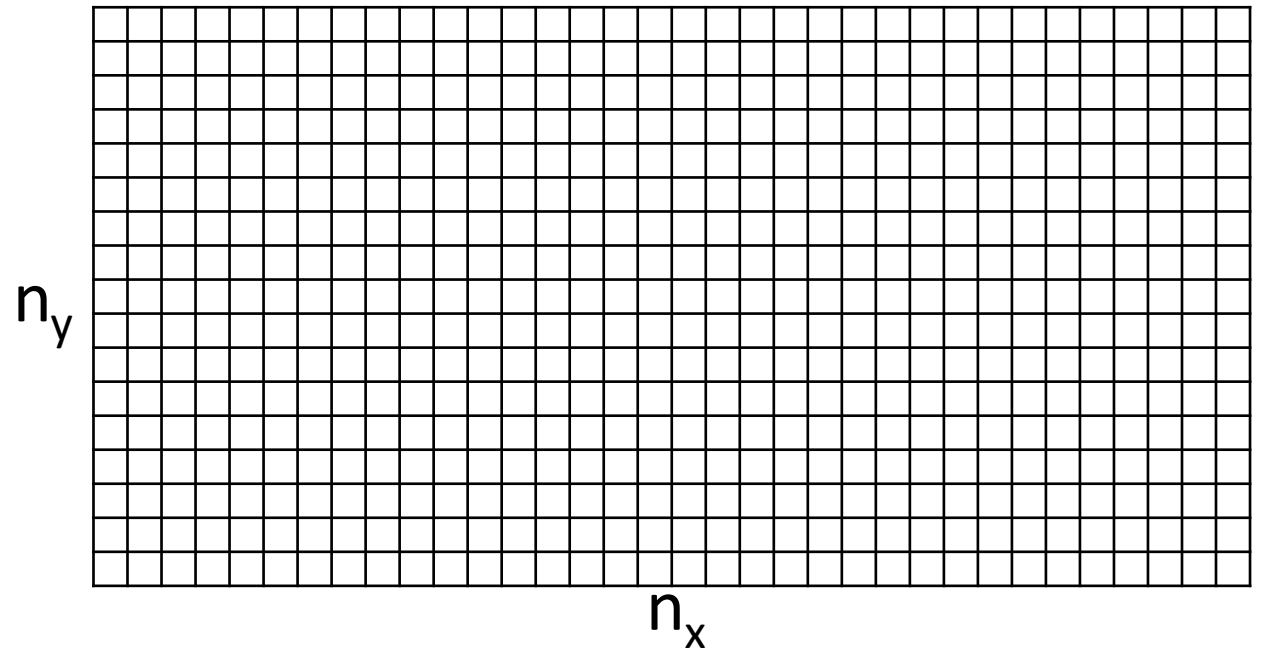




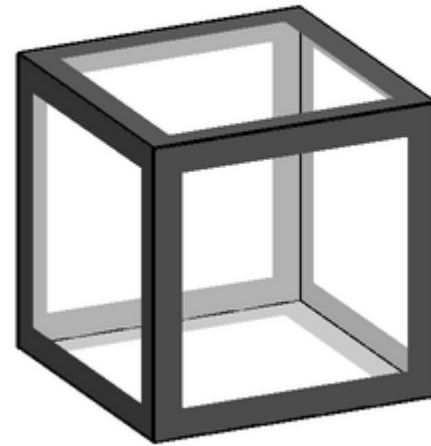
# Przekształcenie bryły kanonicznej



$$M_{vp} = \begin{bmatrix} \frac{n_x}{2} & 0 & 0 & \frac{n_x}{2} - \frac{1}{2} \\ 0 & \frac{n_y}{2} & 0 & \frac{n_y}{2} - \frac{1}{2} \\ 0 & 0 & 1 & 0 \\ 0 & 0 & 0 & 1 \end{bmatrix}$$



# Rzutowania

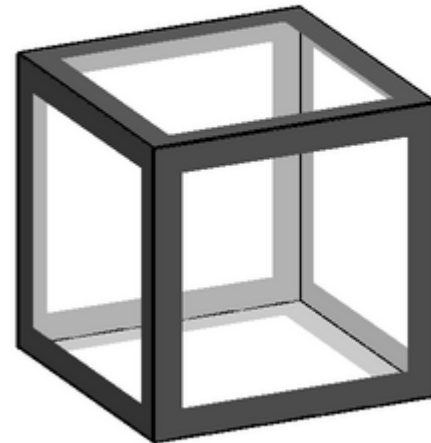


Ortograficzne rzutowanie

# Rzutowania



Perspektywicznie rzutowanie



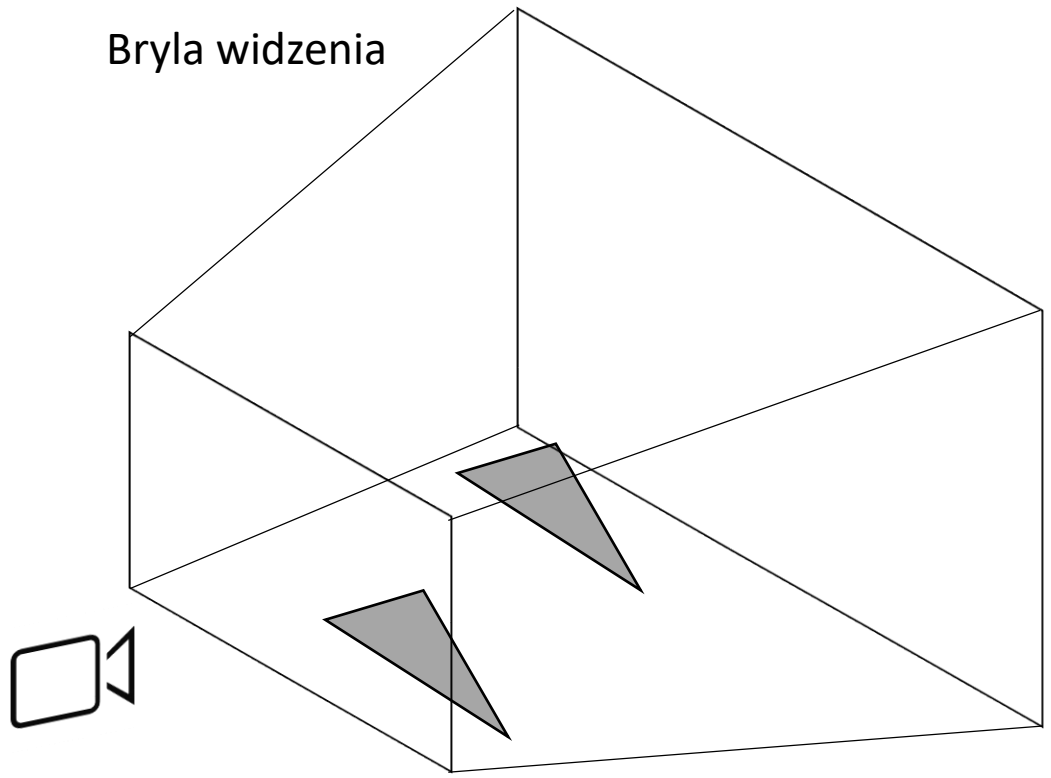
Ortograficznie rzutowanie

# Macierz P

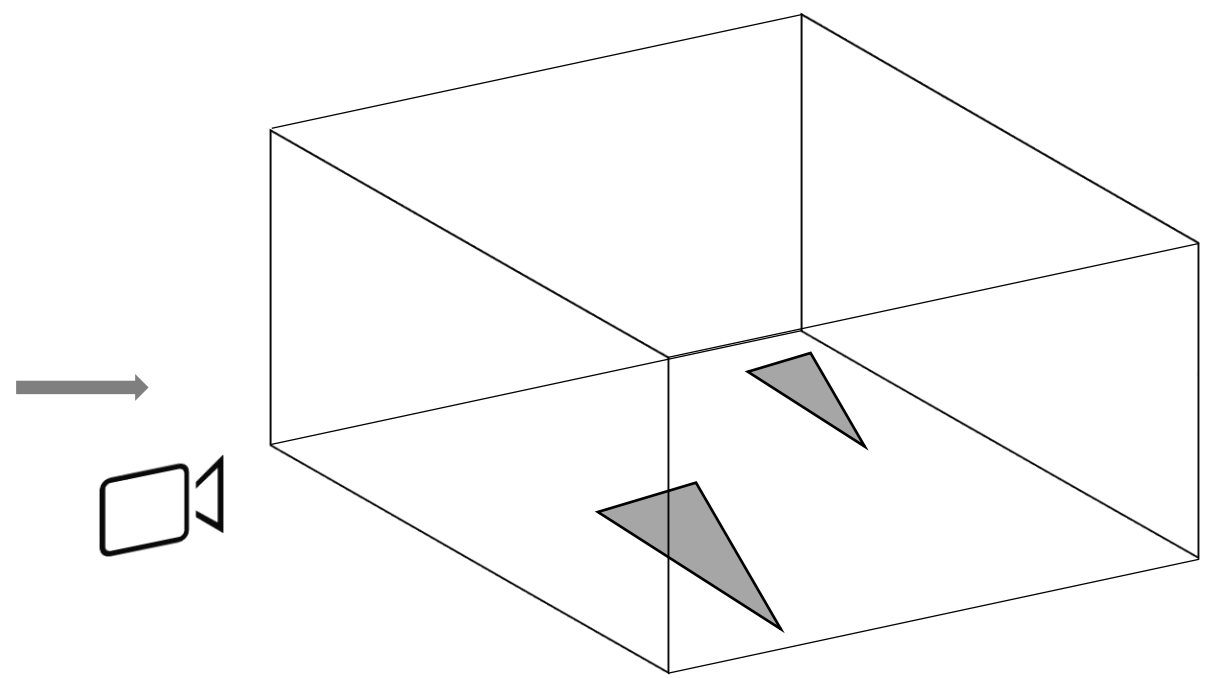
$$\begin{bmatrix} n & 0 & 0 & 0 \\ 0 & n & 0 & 0 \\ 0 & 0 & n+f & -nf \\ 0 & 0 & 1 & 0 \end{bmatrix} \begin{bmatrix} x \\ y \\ z \\ 1 \end{bmatrix} = \begin{bmatrix} \frac{nx}{z} \\ \frac{ny}{z} \\ n+f - \frac{nf}{z} \\ 1 \end{bmatrix}$$

# Transformacja bryły widzenia

Bryła widzenia



Ortograficzna bryła widzenia



# System współrzędnych jednorodnych

Nasze multiplikacje macierzami do liniowe transformacje, tzn. tylko mogą wygenerować wartości jak np.:

$$x' = a_1x + b_1y + c_1z$$

Wprowadzenie współrzędnych jednorodnych umożliwia reprezentacje punktów  $(x, y, z)$  jako  $(x, y, z, 1)$  i umożliwia nam skorzystanie z afinicznych transformacji, np.:

$$x' = a_1x + b_1y + c_1z + d_1$$

# System współrzędnych jednorodnych

- We współrzędnych jednorodnych wektor:

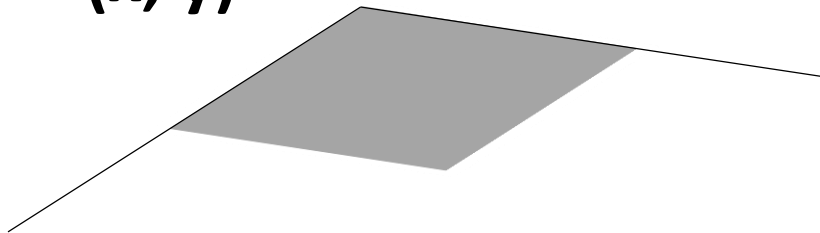
**$(x, y, z, 1)$**  reprezentuje punkt  **$(x, y, z)$**

Teraz wprowadzamy możliwość reprezentacji punktów za pomocą:

**$(x, y, z, w)$**  co daje nam punkt  **$(x/w, y/w, z/w)$**

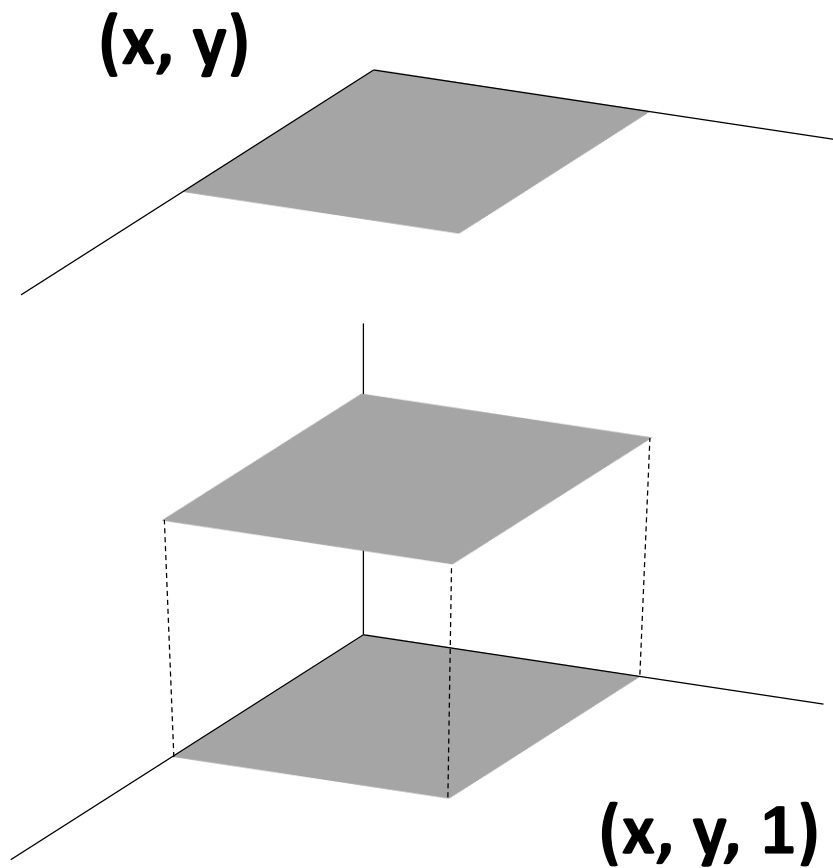
# Współrzędne jednorodne

**(x, y)**

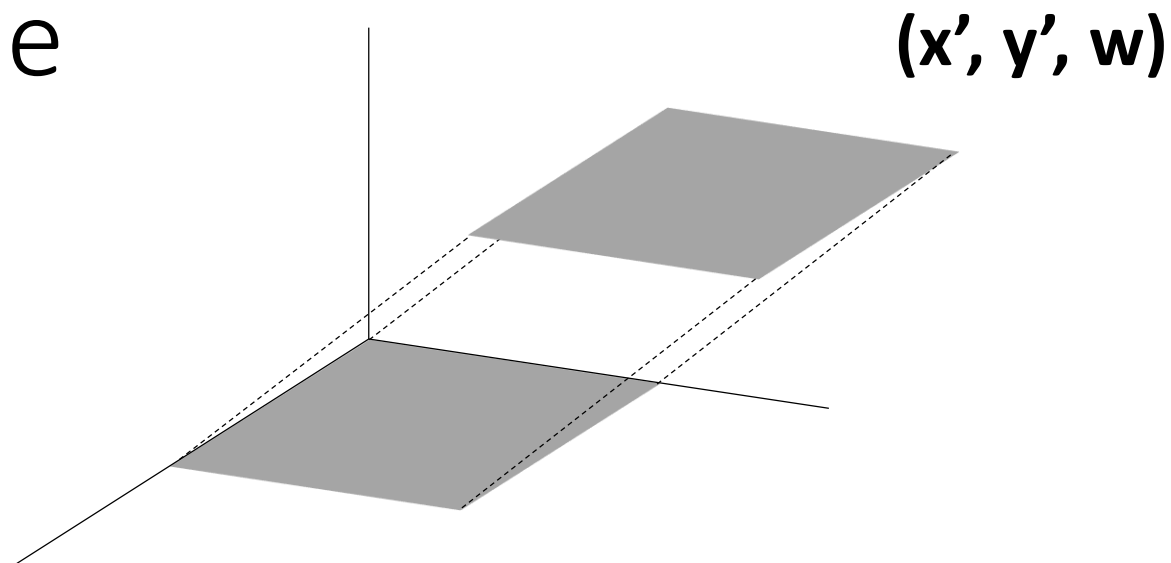
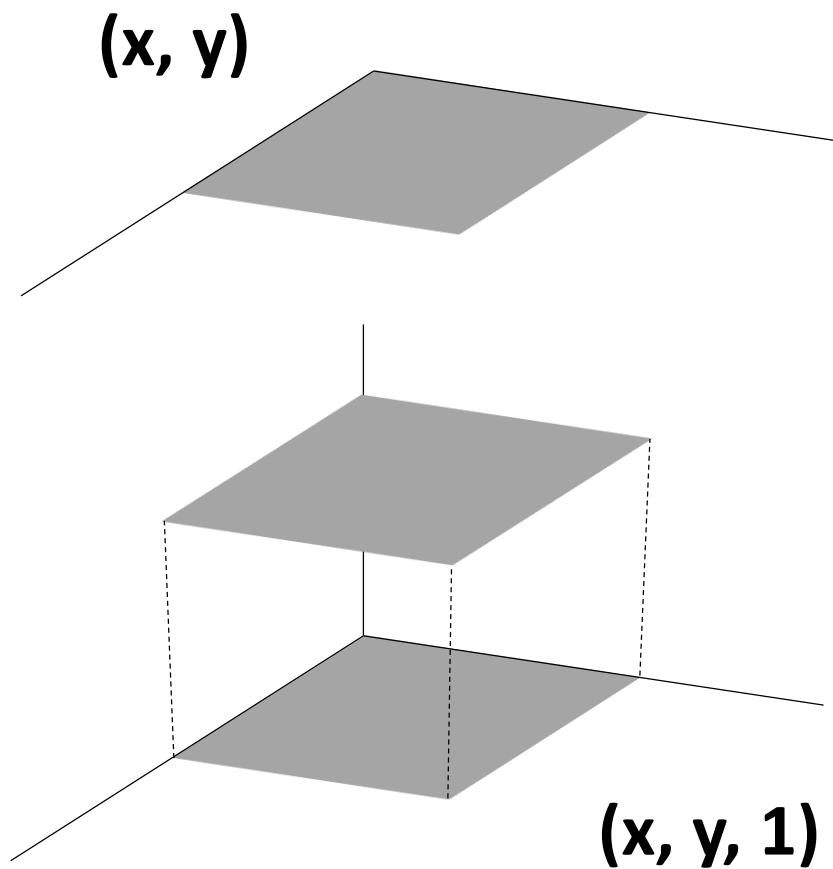




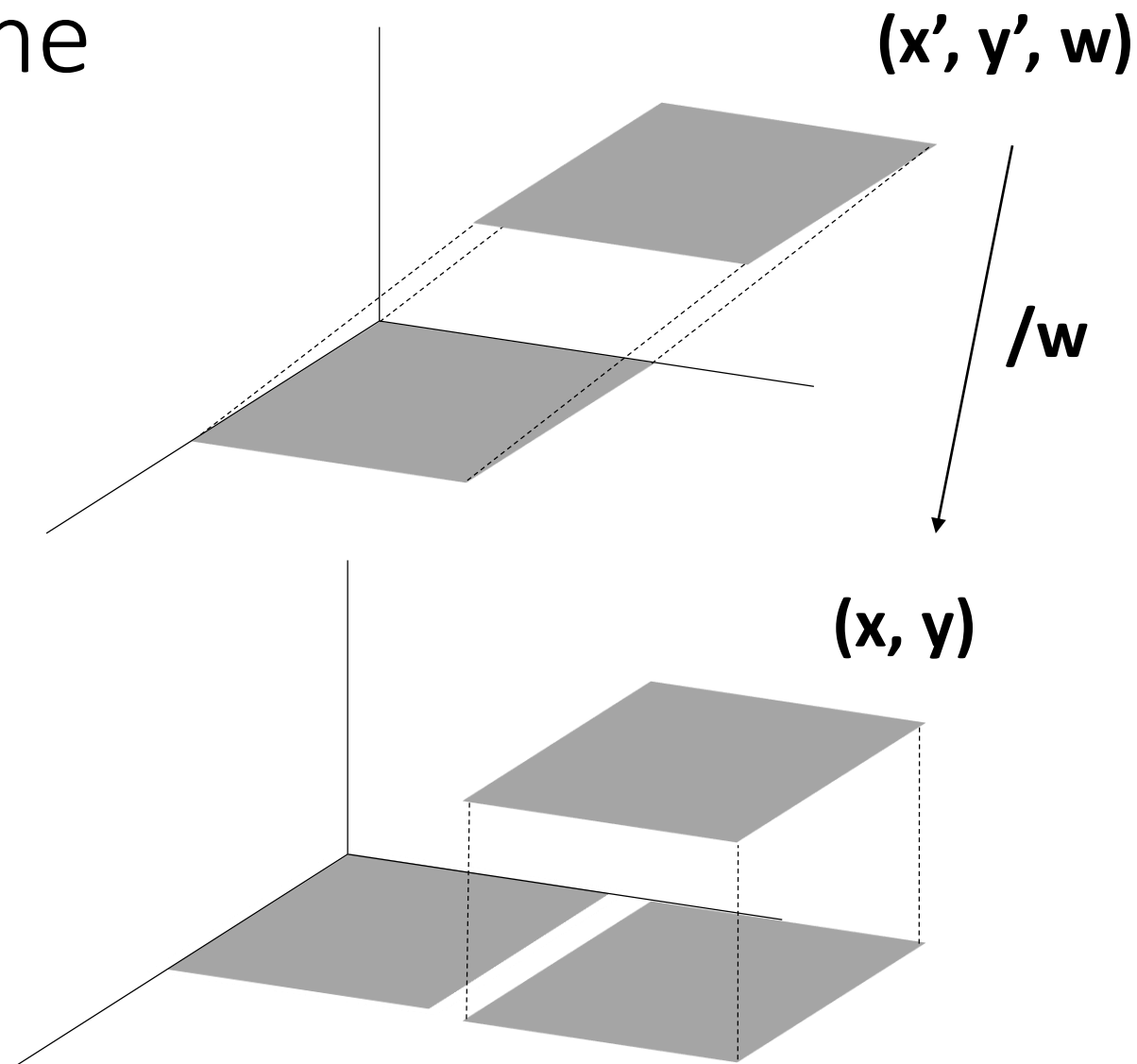
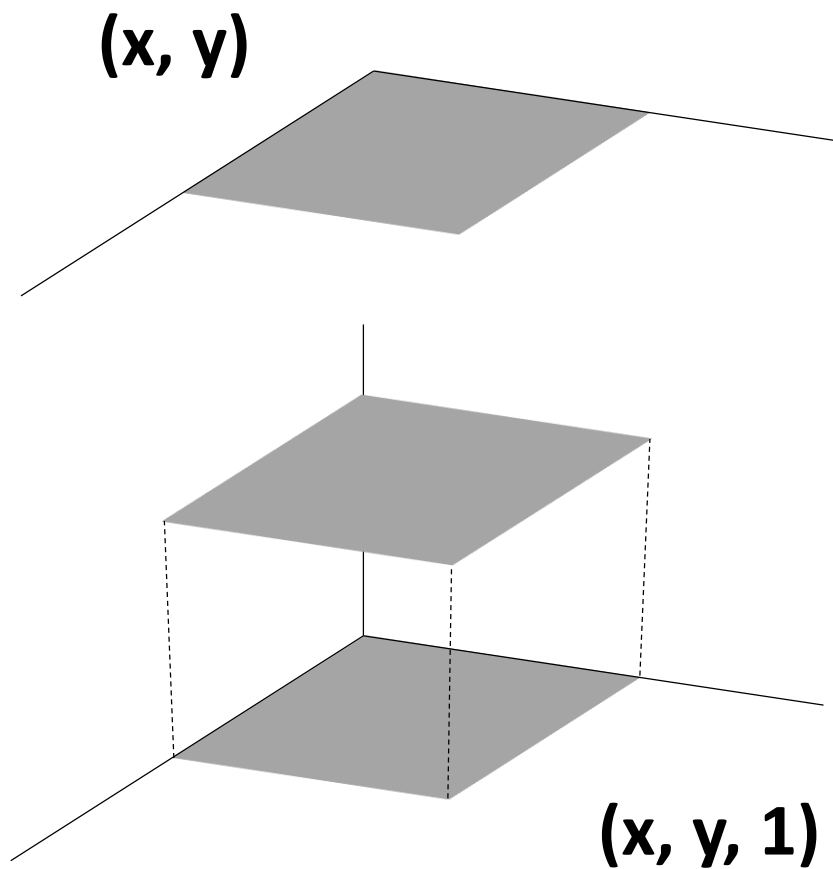
# Współrzędne jednorodne



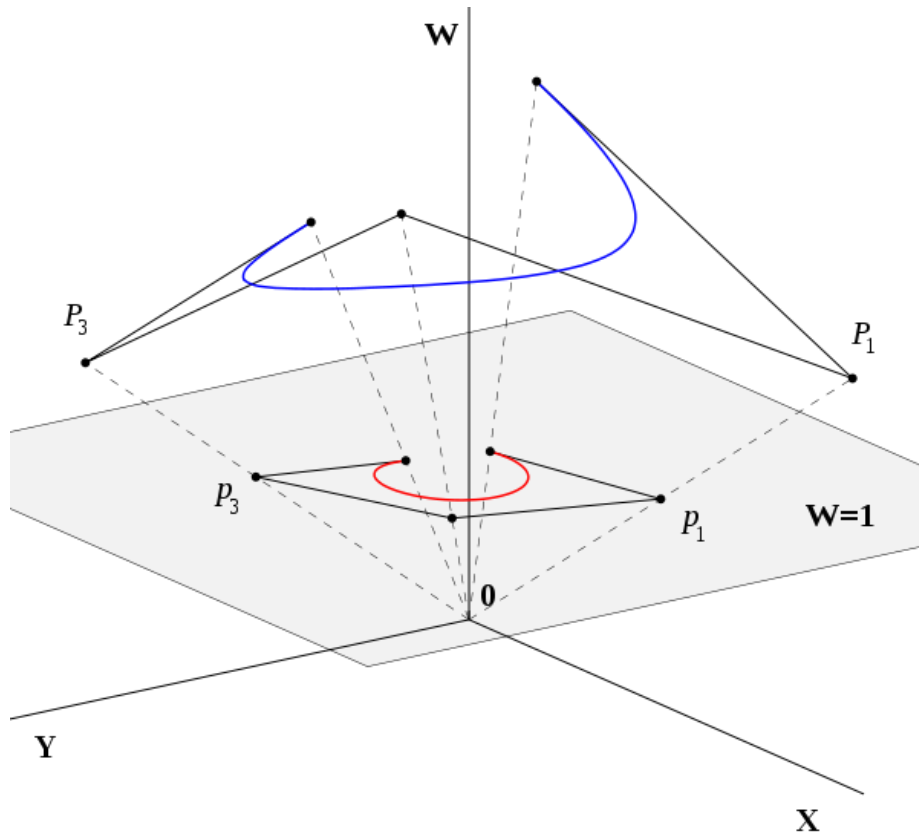
# Współrzędne jednorodne



# Współrzędne jednorodne



# August Möbius



# System współrzędnych jednorodnych

- Wtedy transformacja macierzowa staje się:

$$\bullet \begin{bmatrix} x' \\ y' \\ z' \\ 1 \end{bmatrix} = \begin{bmatrix} a_1 & b_1 & c_1 & T_x \\ a_2 & b_2 & c_2 & T_y \\ a_3 & b_3 & c_3 & T_z \\ a_4 & b_4 & c_4 & w \end{bmatrix} \begin{bmatrix} x \\ y \\ z \\ 1 \end{bmatrix} = \begin{bmatrix} a_1x + b_1y + c_1z + T_x \\ a_2x + b_2y + c_2z + T_y \\ a_3x + b_3y + c_3z + T_z \\ a_4x + b_4y + c_4z + w \end{bmatrix}$$

$$\bullet \begin{bmatrix} a_1x + b_1y + c_1z + T_x \\ a_2x + b_2y + c_2z + T_y \\ a_3x + b_3y + c_3z + T_z \\ a_4x + b_4y + c_4z + w \end{bmatrix} \xrightarrow{\text{homogenizacja}} \begin{bmatrix} \frac{a_1x + b_1y + c_1z + T_x}{a_4x + b_4y + c_4z + w} \\ \frac{a_2x + b_2y + c_2z + T_y}{a_4x + b_4y + c_4z + w} \\ \frac{a_3x + b_3y + c_3z + T_z}{a_4x + b_4y + c_4z + w} \\ 1 \end{bmatrix}$$

# Transformacja bryły widzenia

Kalkulacja:

$$\begin{bmatrix} a_1x + b_1y + c_1z + T_x \\ a_4x + b_4y + c_4z + w \\ a_2x + b_2y + c_2z + T_y \\ a_4x + b_4y + c_4z + w \\ a_3x + b_3y + c_3z + T_z \\ a_4x + b_4y + c_4z + w \\ 1 \end{bmatrix}$$

Cel:

$$\begin{bmatrix} nx \\ z \\ ny \\ z \\ z \\ 1 \end{bmatrix}$$

# Transformacja bryły widzenia

Kalkulacja:

$$\begin{bmatrix} a_1x + b_1y + c_1z + T_x \\ a_4x + b_4y + c_4z + w \\ a_2x + b_2y + c_2z + T_y \\ a_4x + b_4y + c_4z + w \\ a_3x + b_3y + c_3z + T_z \\ a_4x + b_4y + c_4z + w \\ 1 \end{bmatrix}$$

Cel:

$$\begin{bmatrix} nx \\ \hline z \\ ny \\ \hline z \\ z \\ 1 \end{bmatrix}$$

$$\begin{bmatrix} \cdot & \cdot & \cdot & \cdot \\ \cdot & \cdot & \cdot & \cdot \\ \cdot & \cdot & \cdot & \cdot \\ 0 & 0 & 1 & 0 \end{bmatrix} \begin{bmatrix} x \\ y \\ z \\ 1 \end{bmatrix}$$

Czwarty wiersz

# Transformacja bryły widzenia

Kalkulacja:

$$\begin{bmatrix} a_1x + b_1y + c_1z + T_x \\ a_4x + b_4y + c_4z + w \\ a_2x + b_2y + c_2z + T_y \\ a_4x + b_4y + c_4z + w \\ a_3x + b_3y + c_3z + T_z \\ a_4x + b_4y + c_4z + w \\ 1 \end{bmatrix}$$

Cel:

$$\begin{bmatrix} nx \\ \hline z \\ ny \\ \hline z \\ z \\ 1 \end{bmatrix}$$

$$\begin{bmatrix} \cdot & \cdot & \cdot & \cdot \\ \cdot & \cdot & \cdot & \cdot \\ \cdot & \cdot & \cdot & \cdot \\ 0 & 0 & 1 & 0 \end{bmatrix} \begin{bmatrix} x \\ y \\ z \\ 1 \end{bmatrix}$$

Czwarty wiersz



# Transformacja bryły widzenia

Kalkulacja:

$$\begin{bmatrix} a_1x + b_1y + c_1z + T_x \\ a_4x + b_4y + c_4z + w \\ a_2x + b_2y + c_2z + T_y \\ a_4x + b_4y + c_4z + w \\ a_3x + b_3y + c_3z + T_z \\ a_4x + b_4y + c_4z + w \\ 1 \end{bmatrix}$$

Cel:

$$\begin{bmatrix} nx \\ \hline z \\ ny \\ \hline z \\ z \\ 1 \end{bmatrix}$$

$$\begin{bmatrix} \cdot & \cdot & \cdot & \cdot \\ \cdot & \cdot & \cdot & \cdot \\ \cdot & \cdot & \cdot & \cdot \\ 0 & 0 & 1 & 0 \end{bmatrix} \begin{bmatrix} x \\ y \\ z \\ 1 \end{bmatrix}$$

Czwarty wiersz

$$\begin{bmatrix} n & 0 & 0 & 0 \\ 0 & n & 0 & 0 \\ \cdot & \cdot & \cdot & \cdot \\ 0 & 0 & 1 & 0 \end{bmatrix} \begin{bmatrix} x \\ y \\ z \\ 1 \end{bmatrix}$$

Pierwszy i drugi wiersz

# Transformacja bryły widzenia

Kalkulacja:

$$\begin{bmatrix} a_1x + b_1y + c_1z + T_x \\ a_4x + b_4y + c_4z + w \\ a_2x + b_2y + c_2z + T_y \\ a_4x + b_4y + c_4z + w \\ a_3x + b_3y + c_3z + T_z \\ a_4x + b_4y + c_4z + w \\ 1 \end{bmatrix}$$

Cel:

$$\begin{bmatrix} nx \\ \hline z \\ ny \\ \hline z \\ z \\ 1 \end{bmatrix}$$

$$\begin{bmatrix} \cdot & \cdot & \cdot & \cdot \\ \cdot & \cdot & \cdot & \cdot \\ \cdot & \cdot & \cdot & \cdot \\ 0 & 0 & 1 & 0 \end{bmatrix} \begin{bmatrix} x \\ y \\ z \\ 1 \end{bmatrix}$$

Czwarty wiersz

$$\begin{bmatrix} n & 0 & 0 & 0 \\ 0 & n & 0 & 0 \\ \cdot & \cdot & \cdot & \cdot \\ 0 & 0 & 1 & 0 \end{bmatrix} \begin{bmatrix} x \\ y \\ z \\ 1 \end{bmatrix}$$

Pierwszy i drugi wiersz

Co z trzecim wierszem?

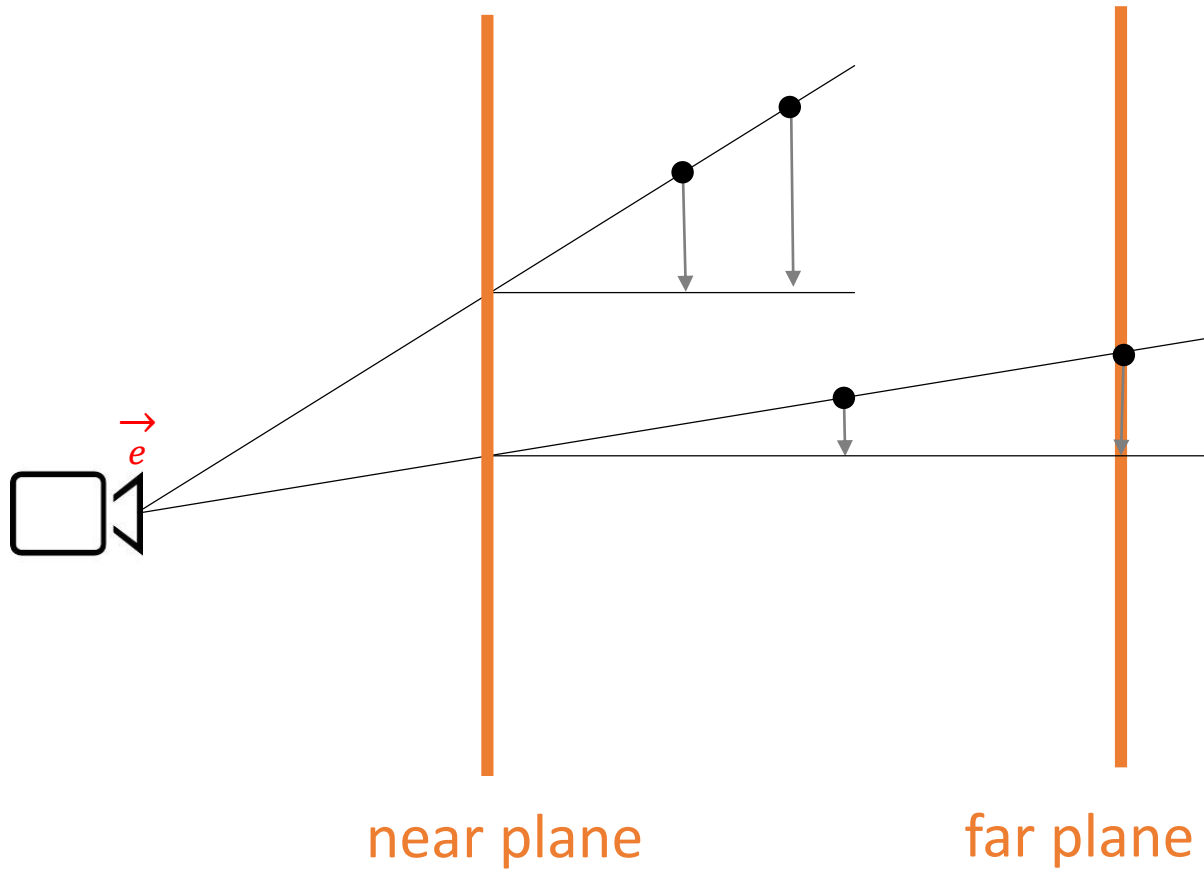
$$\begin{bmatrix} n & 0 & 0 & 0 \\ 0 & n & 0 & 0 \\ ? & ? & ? & ? \\ 0 & 0 & 1 & 0 \end{bmatrix} \begin{bmatrix} x \\ y \\ z \\ 1 \end{bmatrix}$$

$$\begin{bmatrix} nx \\ \hline z \\ ny \\ \hline z \\ z \\ 1 \end{bmatrix}$$

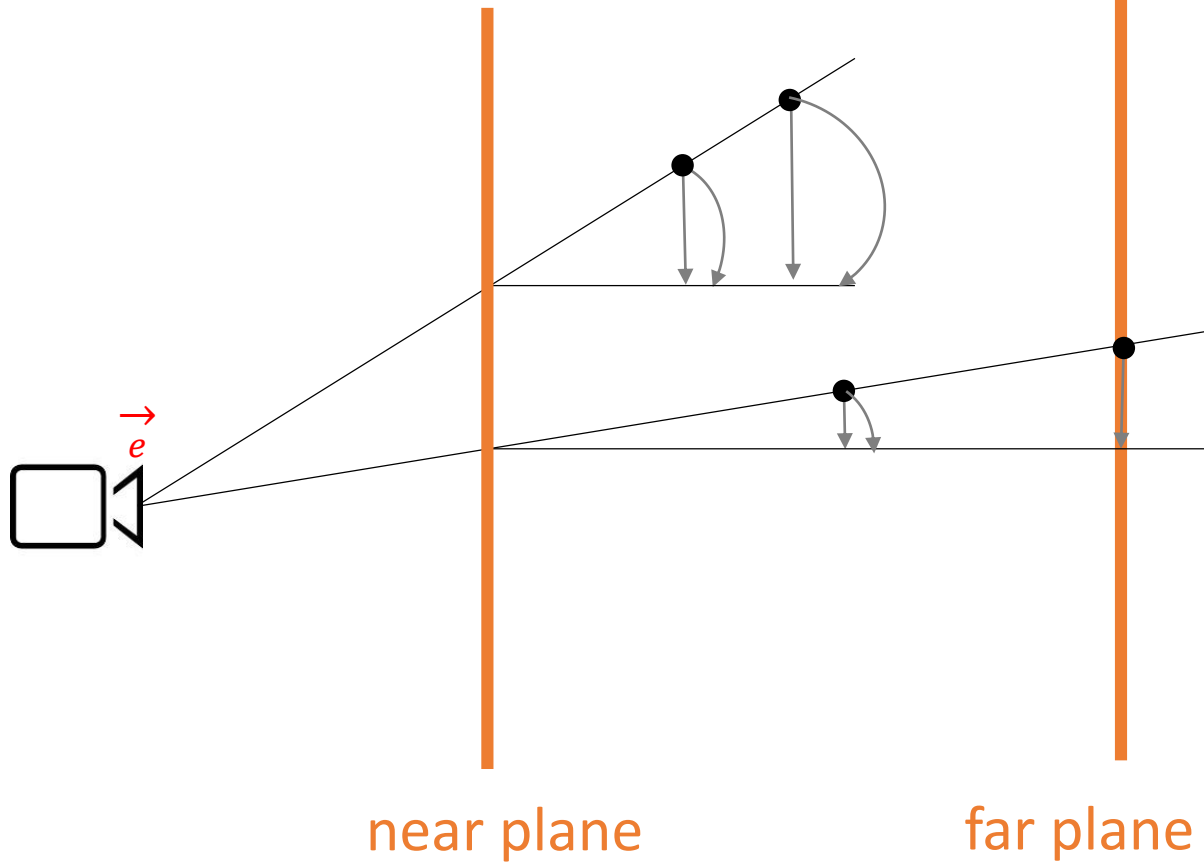
# Macierz P

$$\begin{bmatrix} n & 0 & 0 & 0 \\ 0 & n & 0 & 0 \\ 0 & 0 & n+f & -nf \\ 0 & 0 & 1 & 0 \end{bmatrix} \begin{bmatrix} x \\ y \\ z \\ 1 \end{bmatrix} = \begin{bmatrix} \frac{nx}{z} \\ \frac{ny}{z} \\ n+f - \frac{nf}{z} \\ 1 \end{bmatrix}$$

# Transformacja bryły widzenia

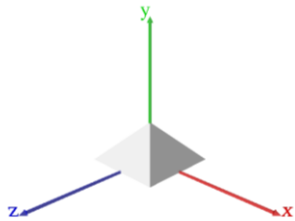
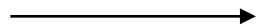


# Transformacja bryły widzenia



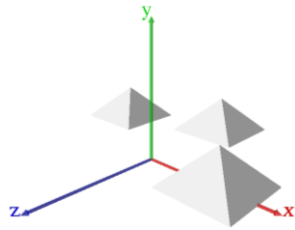
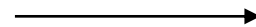
# Uproszczony Potok Graficzny (Rendering)

Model Matrix



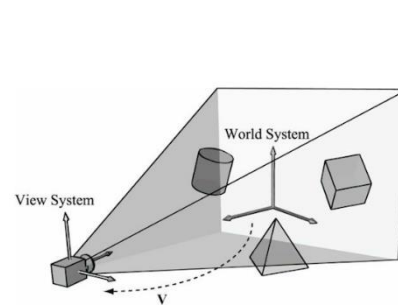
Object Space

View Matrix



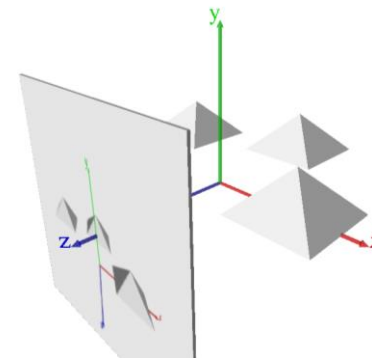
World Space

Projection Matrix

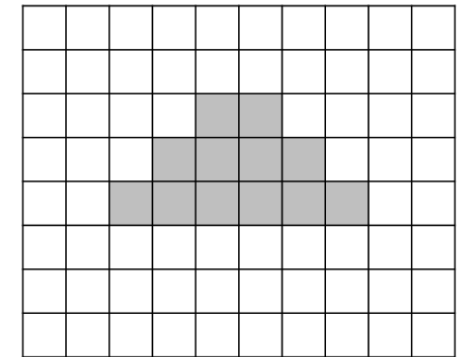


View Space

Viewport Transform



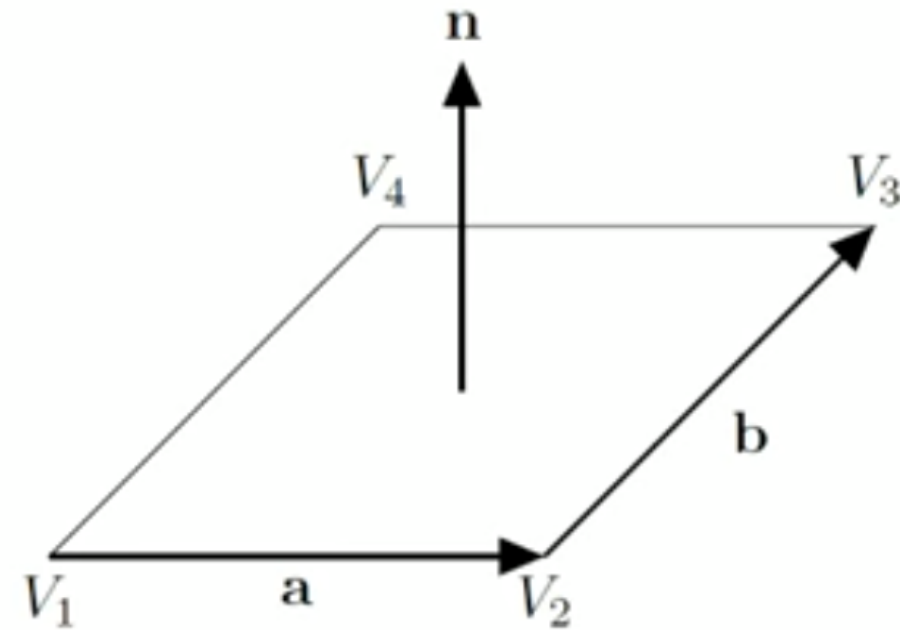
Clip Space



Screen Space

# Wektor normalny

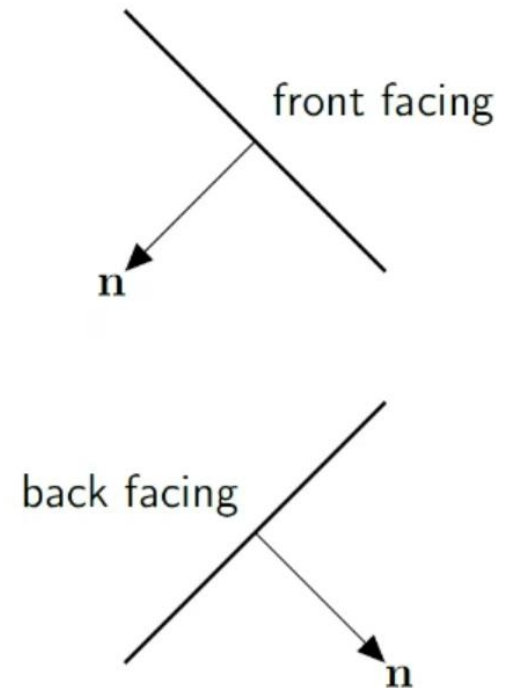
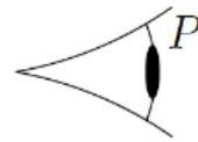
- **Wektor normalny** jest skierowany **prostopadle** do płaszczyzny
- Możemy skorzystać z **iloczynu wektorowego** żeby obliczyć wartość wektora normalnego  **$n$**
- $n = a \times b$
- Konwencją jest podawać wierzchołki w kierunku przeciwnym do zegara
- $n = (V_2 - V_1) \times (V_3 - V_2)$





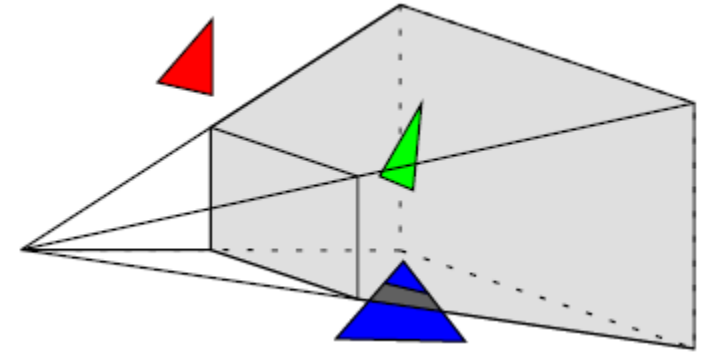
# Skierowanie wielokątów

- Wielokąt jest skierowany do przodu (**front facing**) gdy normalna powierzchni jest skierowane do punktu widzenia, w innym przypadku jest skierowany do tyłu (**back facing**)



# Jakie trójkąty rzutować?

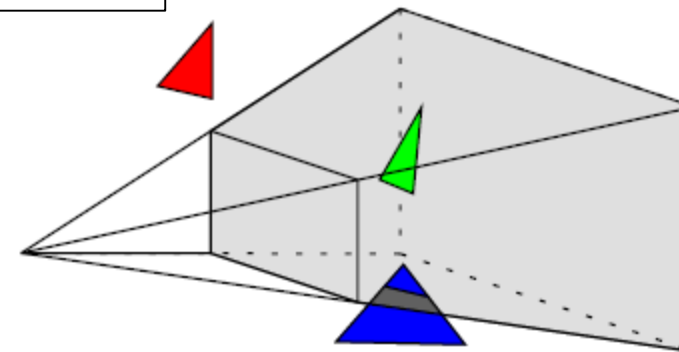
- Trójkąty które leżą (częściowo) poza bryłą widzenia nie muszą być rzutowane i są cięte (**clipping/culling**)



# Jakie trójkąty rzutować?

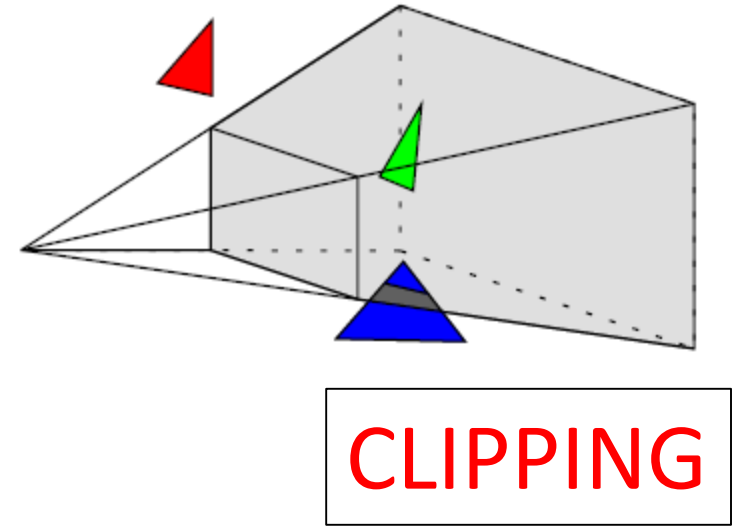
CULLING

- Trójkąty które leżą (częściowo) poza bryłą widzenia nie muszą być rzutowane i są cięte (**clipping/culling**)



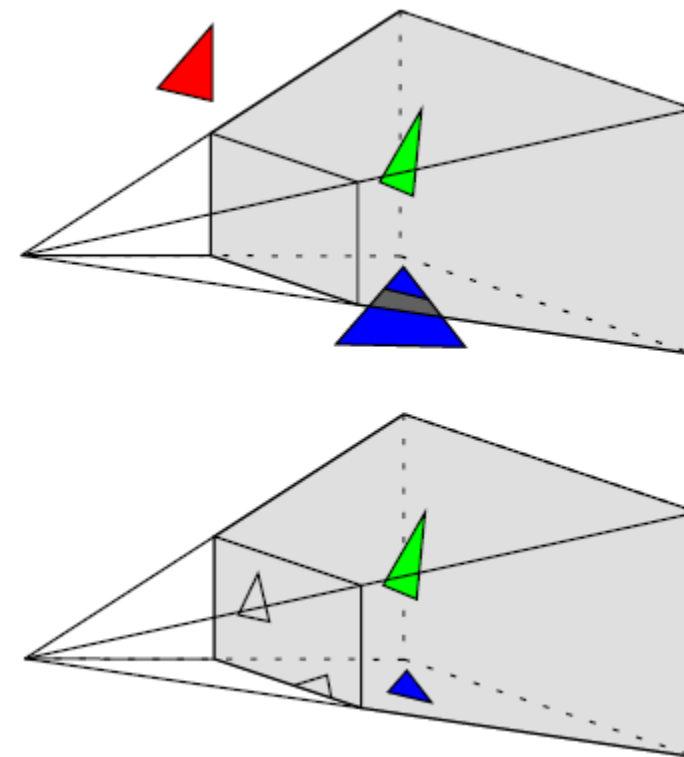
# Jakie trójkąty rzutować?

- Trójkąty które leżą (częściowo) poza bryłą widzenia nie muszą być rzutowane i są cięte (**clipping/culling**)



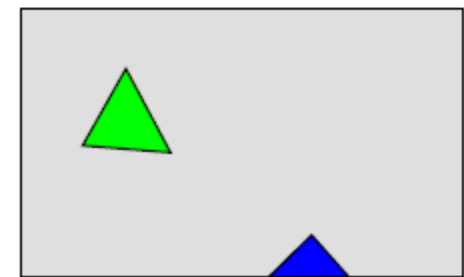
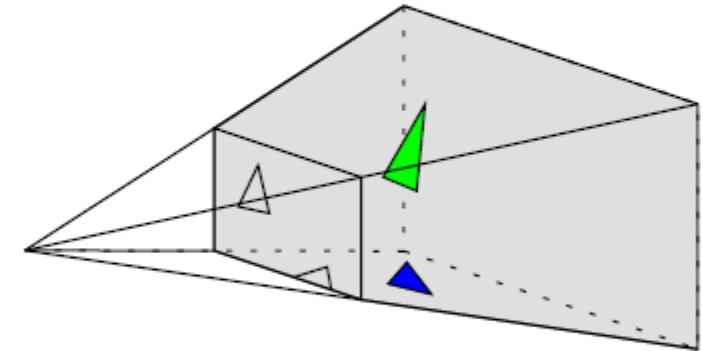
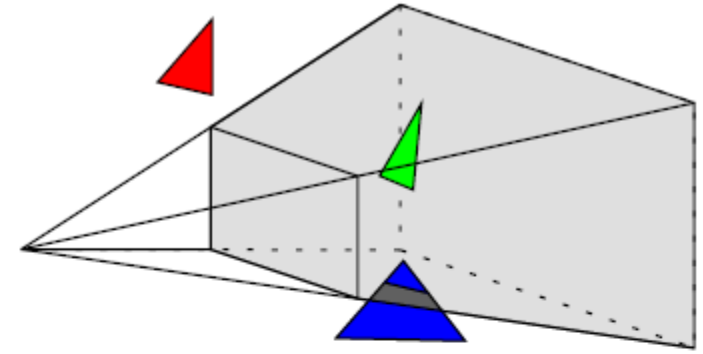
# Jakie trójkąty rzutować?

- Trójkąty które leżą (częściowo) poza bryłą widzenia nie muszą być rzutowane i są cięte (**clipping/culling**)
- Pozostałe trójkąty są rzutowane na powierzchnie widzenia



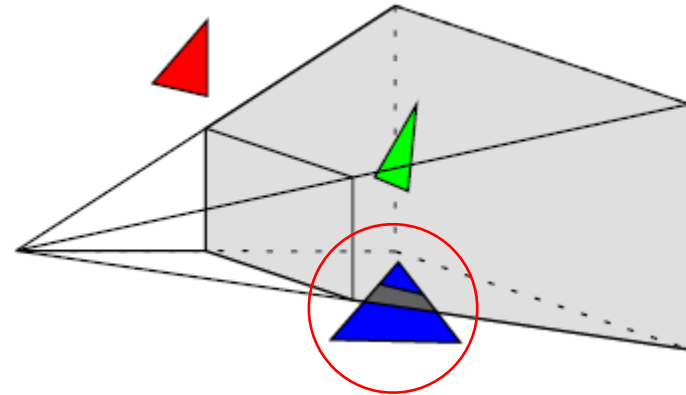
# Jakie trójkąty rzutować?

- Trójkąty które leżą (częściowo) poza bryłą widzenia nie muszą być rzutowane i są cięte (**clipping/culling**)
- Pozostałe trójkąty są rzutowane na powierzchnie widzenia



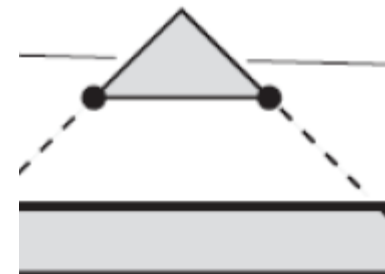
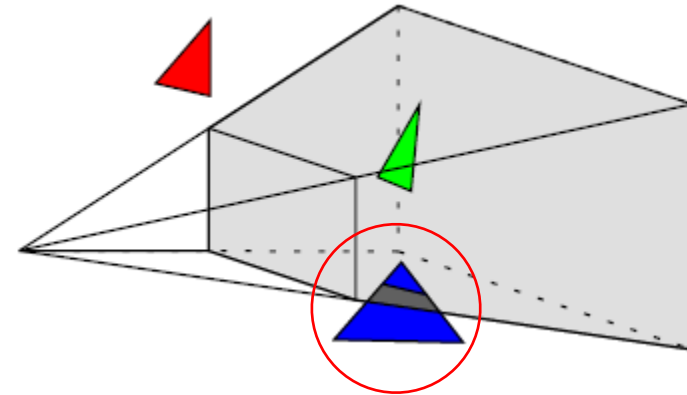
# Clipping

- Żeby zdecydować czy pociąć trójkąt musimy:
  - Sprawdzić czy on przecina **hiperpłaszczyznę**



# Clipping

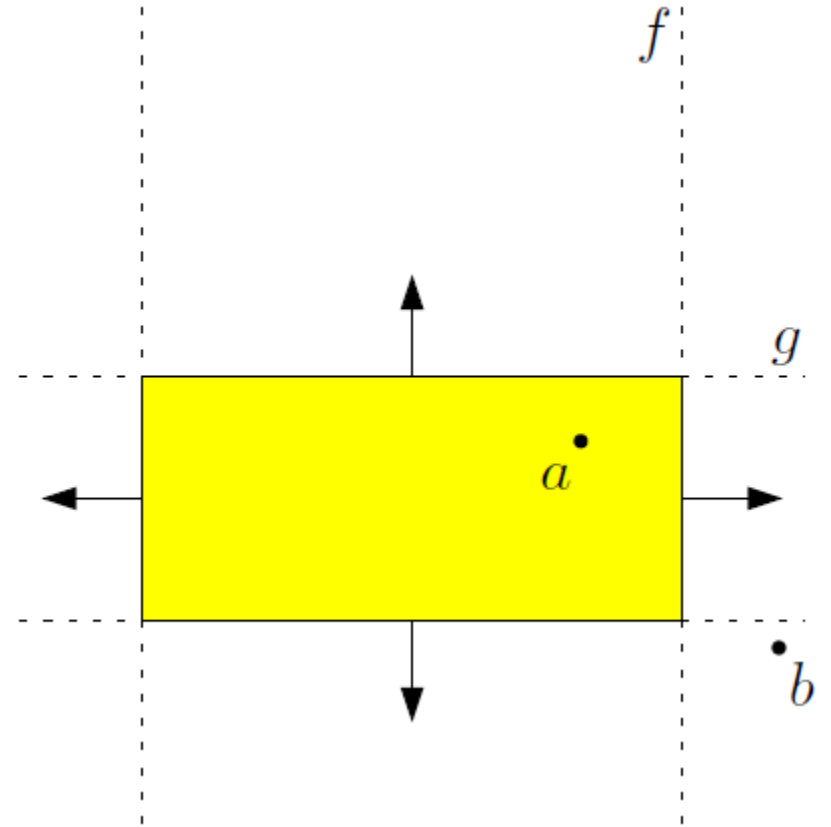
- Żeby zdecydować czy pociąć trójkąt musimy:
  - Sprawdzić czy on przecina **hiperpłaszczyznę**
  - Stworzyć **nowy** trójkąt(y)





# Sprawdzanie przecinania

- Równanie dla hiperpłaszczyzny przez punkt  $q$  i normalną  $n$  jest dane przez:
- $f(p) = n \cdot (p - q) = 0$



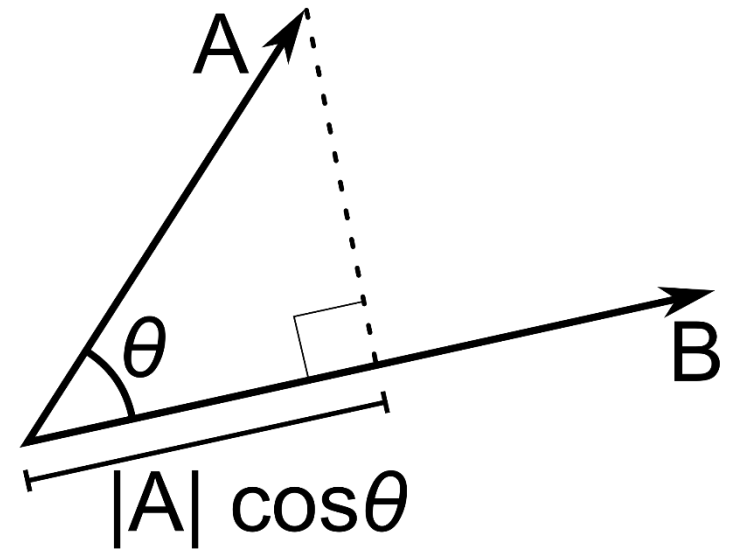
3D - iloczyn skalarny  $a \cdot b$

Definicja 1:  $a \cdot b = a_1 b_1 + a_2 b_2 + a_3 b_3$

## 3D - iloczyn skalarny $a \cdot b$

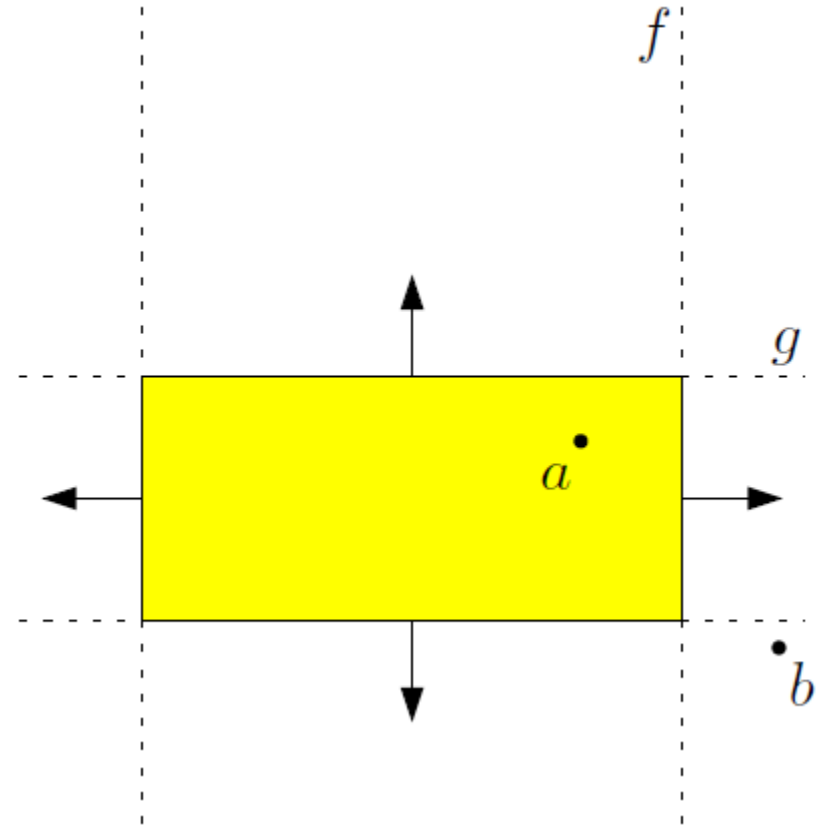
Definicja 1:  $a \cdot b = a_1 b_1 + a_2 b_2 + a_3 b_3$

Definicja 2:  $a \cdot b = |a| |b| \cos(\theta)$



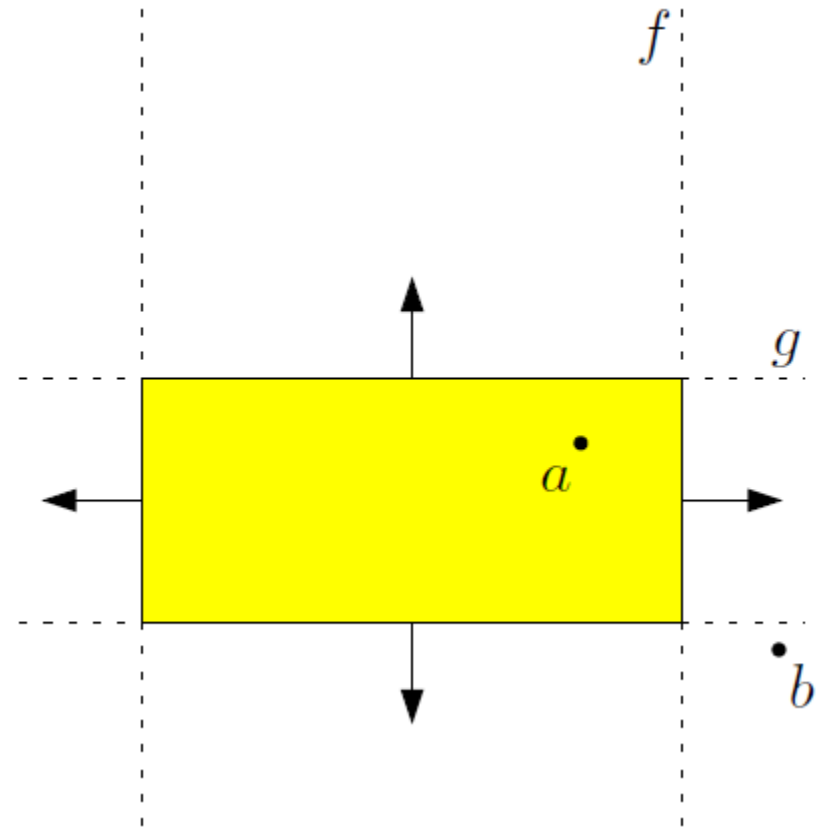
# Sprawdzanie przecinania

- Równanie dla hiperpłaszczyzny przez punkt  $q$  i normalną  $n$  jest dane przez:
- $f(p) = n \cdot (p - q) = 0$



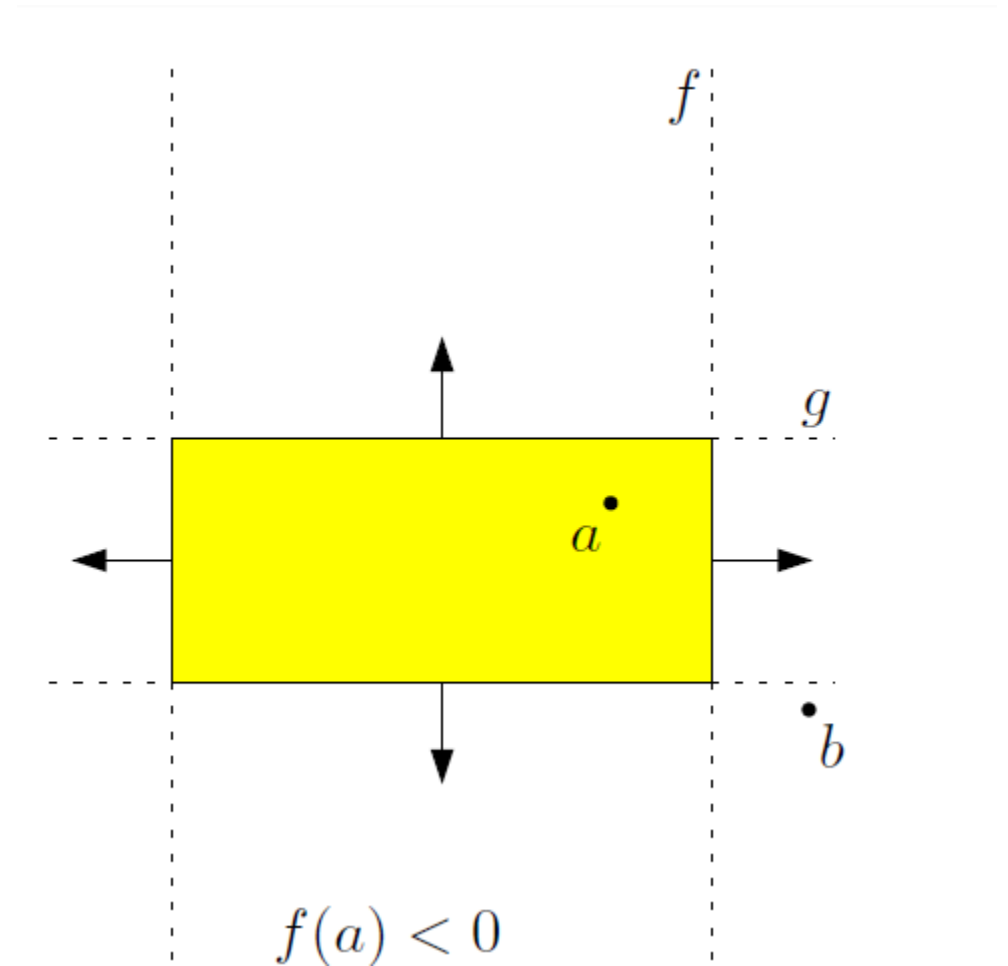
# Sprawdzanie przecinania

- Równanie dla hiperpłaszczyzny przez punkt  $q$  i normalną  $n$  jest dane przez:
- $f(p) = n \cdot (p - q) = 0$
- Konwencja: normalne hiperpłaszczyzn są z kierowane na **zewnątrz** (bryły widzenia), czyli gdy  $f(p) < 0$  to  $p$  jest **wewnątrz**, a jak  $f(p) > 0$  to  $p$  jest **zewnątrz** płaszczyzny.



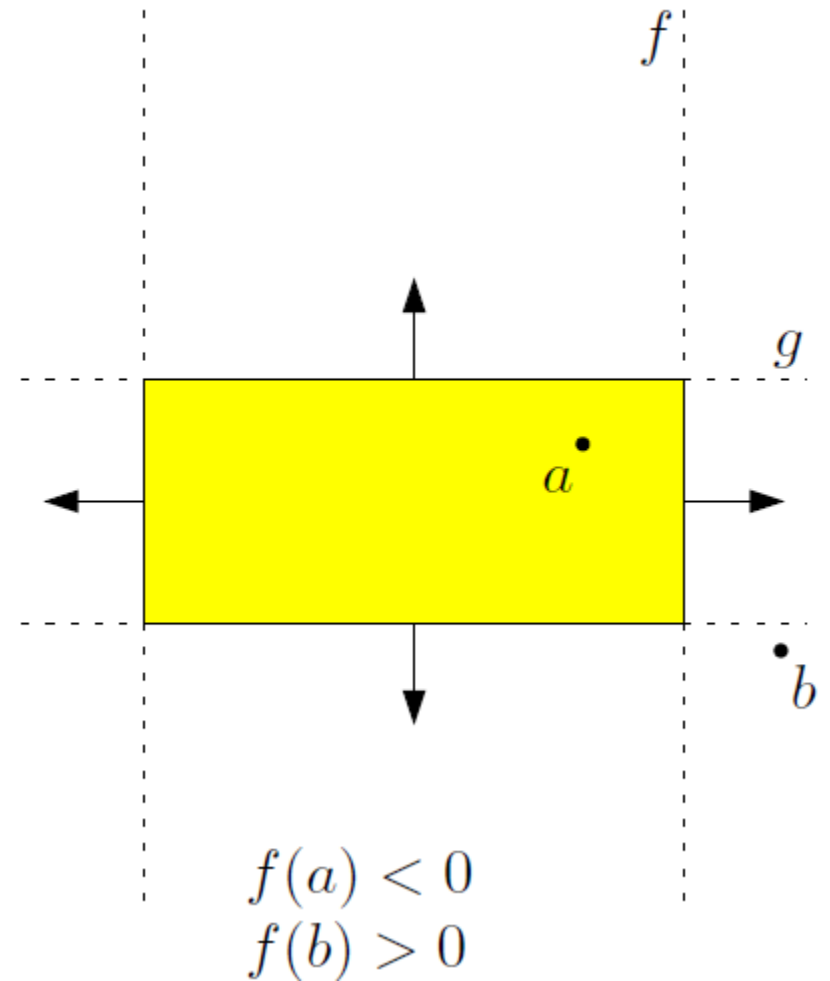
# Sprawdzanie przecinania

- Równanie dla hiperpłaszczyzny przez punkt  $q$  i normalną  $n$  jest dane przez:
- $f(p) = n \cdot (p - q) = 0$
- Konwencja: normalne hiperpłaszczyzn są z kierowane na **zewnątrz** (bryły widzenia), czyli gdy  $f(p) < 0$  to  $p$  jest **wewnątrz**, a jak  $f(p) > 0$  to  $p$  jest **zewnątrz** płaszczyzny.



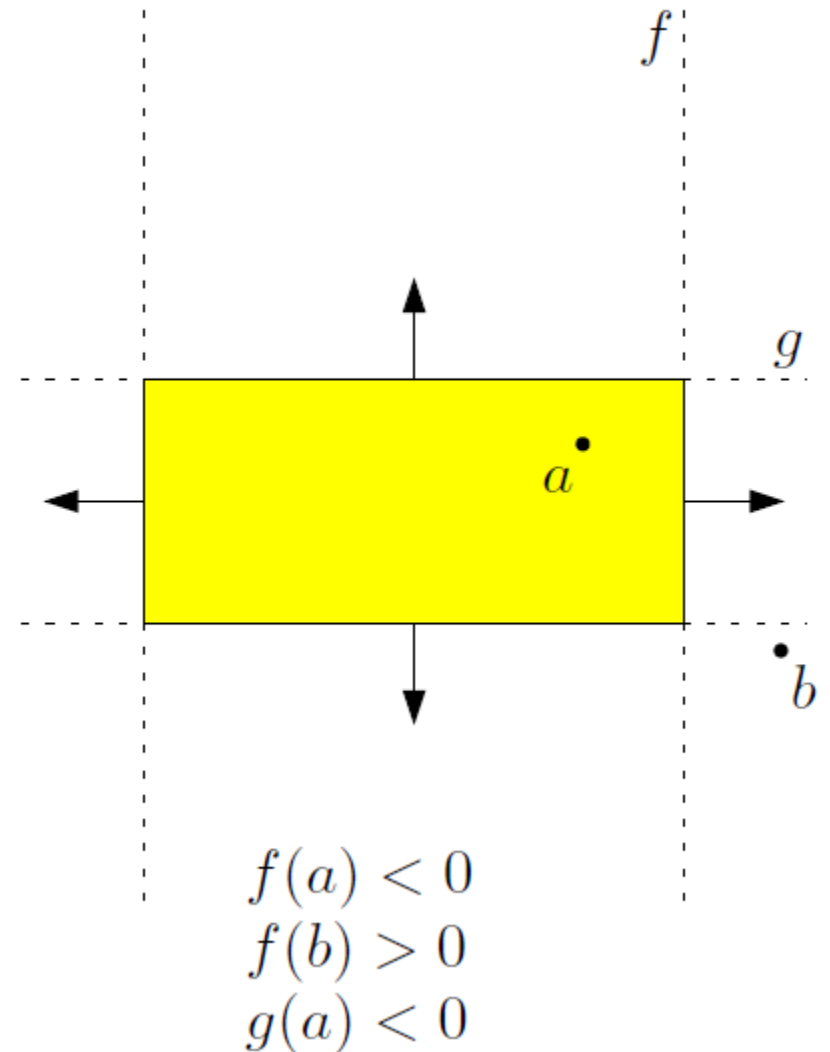
# Sprawdzanie przecinania

- Równanie dla hiperpłaszczyzny przez punkt  $q$  i normalną  $n$  jest dane przez:
- $f(p) = n \cdot (p - q) = 0$
- Konwencja: normalne hiperpłaszczyzn są z kierowane na **zewnątrz** (bryły widzenia), czyli gdy  $f(p) < 0$  to  $p$  jest **wewnątrz**, a jak  $f(p) > 0$  to  $p$  jest **zewnątrz** płaszczyzny.



# Sprawdzanie przecinania

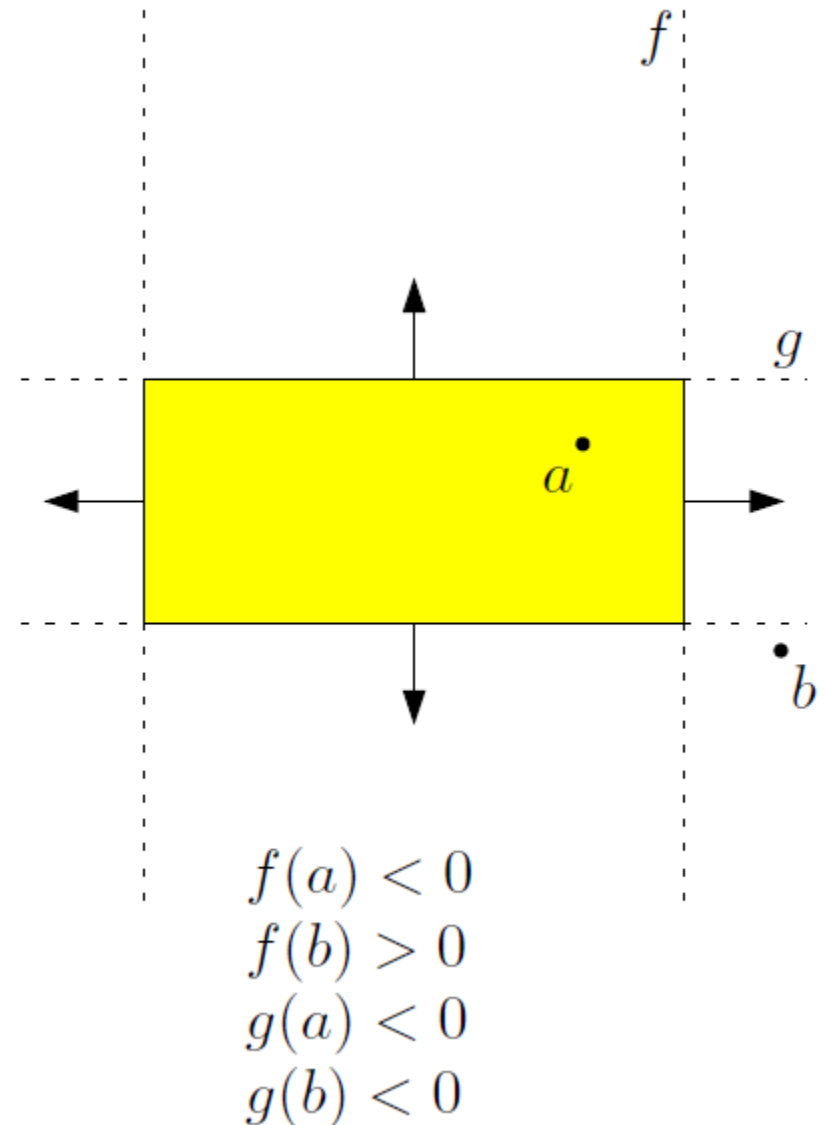
- Równanie dla hiperpłaszczyzny przez punkt  $q$  i normalną  $n$  jest dane przez:
- $f(p) = n \cdot (p - q) = 0$
- Konwencja: normalne hiperpłaszczyzn są z kierowane na **zewnątrz** (bryły widzenia), czyli gdy  $f(p) < 0$  to  $p$  jest **wewnątrz**, a jak  $f(p) > 0$  to  $p$  jest **zewnątrz** płaszczyzny.





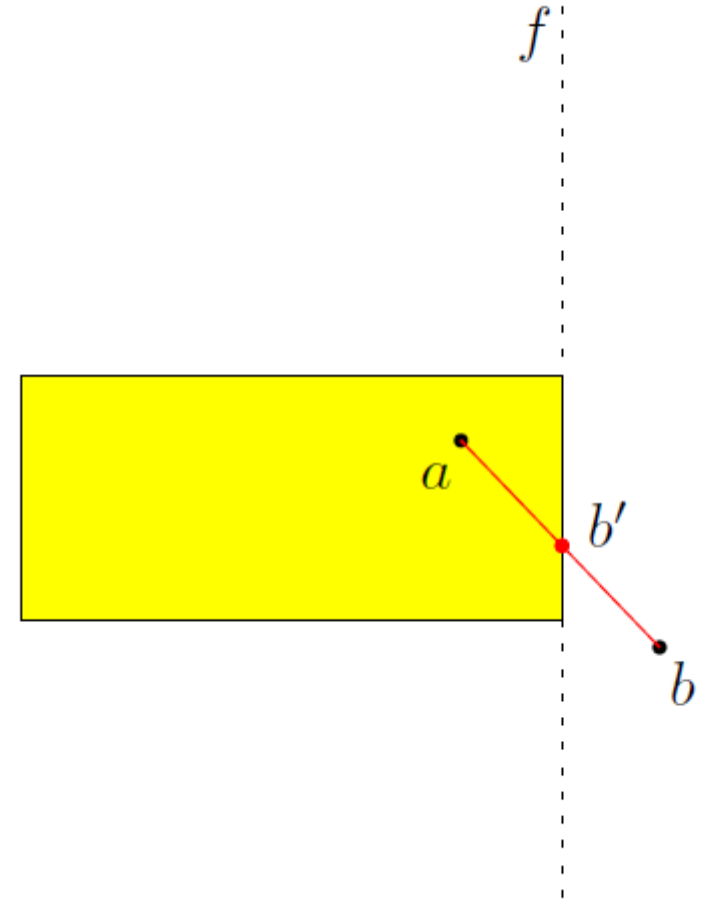
# Sprawdzanie przecinania

- Równanie dla hiperpłaszczyzny przez punkt  $q$  i normalną  $n$  jest dane przez:
- $f(p) = n \cdot (p - q) = 0$
- Konwencja: normalne hiperpłaszczyzn są z kierowane na **zewnątrz** (bryły widzenia), czyli gdy  $f(p) < 0$  to  $p$  jest **wewnątrz**, a jak  $f(p) > 0$  to  $p$  jest **zewnątrz** płaszczyzny.



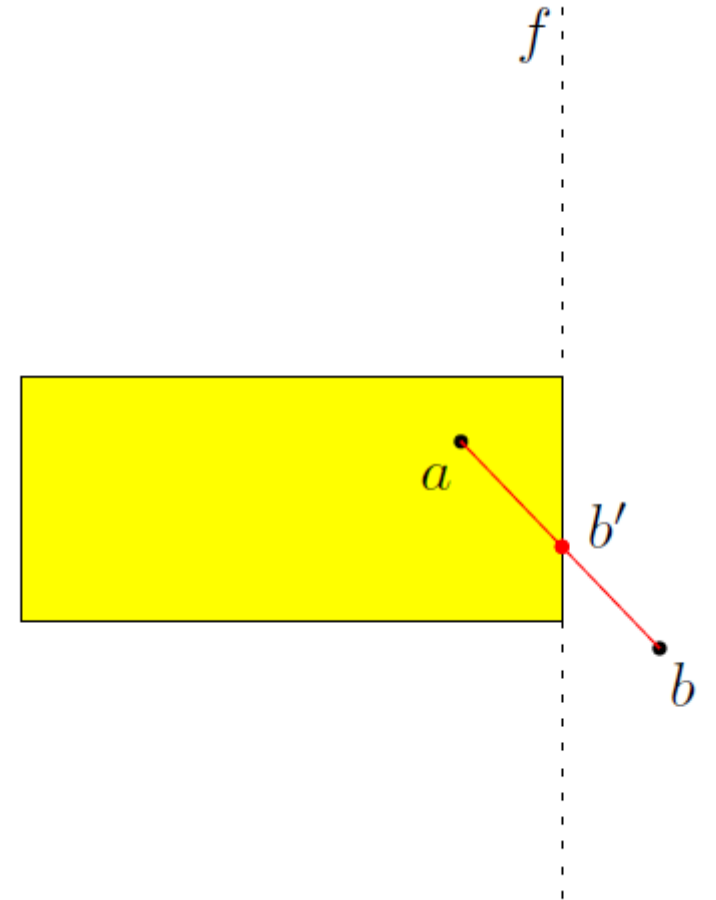
# Obliczenie punktów przecięcia

- Jak dwa punkty  $\vec{a}$  i  $\vec{b}$  są po różnych stronach hiperpłaszczyzny stwarzamy równanie krzywej która przez te punkty przechodzi:
- $\vec{p}(t) = \vec{a} + t(\vec{b} - \vec{a})$



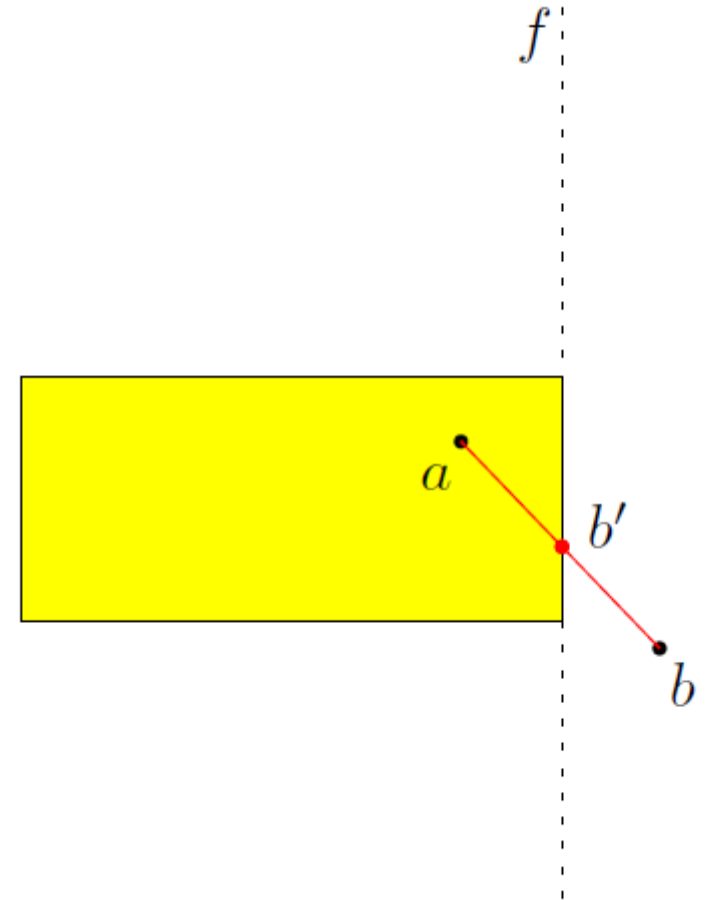
# Obliczenie punktów przecięcia

- Jak dwa punkty  $\vec{a}$  i  $\vec{b}$  są po różnych stronach hiperpłaszczyzny stwarzamy równanie krzywej która przez te punkty przechodzi:
- $\vec{p}(t) = \vec{a} + t(\vec{b} - \vec{a})$
- Podkładając te równanie pod nasze równanie hiperpłaszczyzny daje nam:
- $\vec{n} \cdot (\vec{p} - \vec{q}) = 0$



# Obliczenie punktów przecięcia

- Jak dwa punkty  $\vec{a}$  i  $\vec{b}$  są po różnych stronach hiperpłaszczyzny stwarzamy równanie krzywej która przez te punkty przechodzi:
- $\vec{p}(t) = \vec{a} + t(\vec{b} - \vec{a})$
- Podkładając te równanie pod nasze równanie hiperpłaszczyzny daje nam:
- $\vec{n} \cdot (\vec{p} - \vec{q}) = 0$
- $\vec{n} \cdot (\vec{a} + t(\vec{b} - \vec{a}) - \vec{q}) = 0$



# Obliczenie punktów przecięcia

- Jak dwa punkty  $\vec{a}$  i  $\vec{b}$  są po różnych stronach hiperpłaszczyzny stwarzamy równanie krzywej która przez te punkty przechodzi:

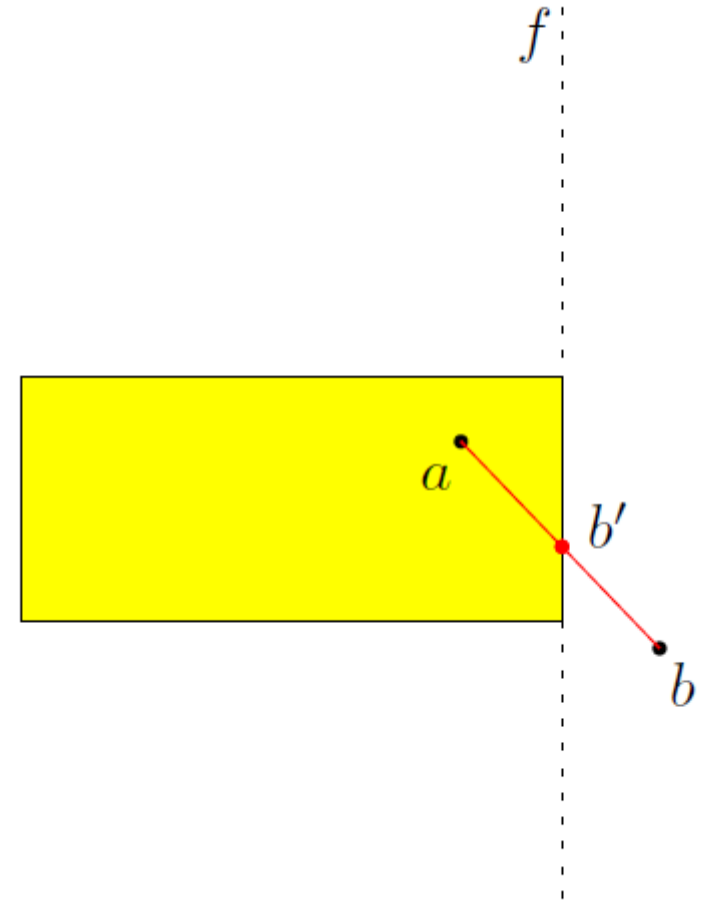
- $\vec{p}(t) = \vec{a} + t(\vec{b} - \vec{a})$

- Podkładając te równanie pod nasze równanie hiperpłaszczyzny daje nam:

- $\vec{n} \cdot (\vec{p} - \vec{q}) = 0$

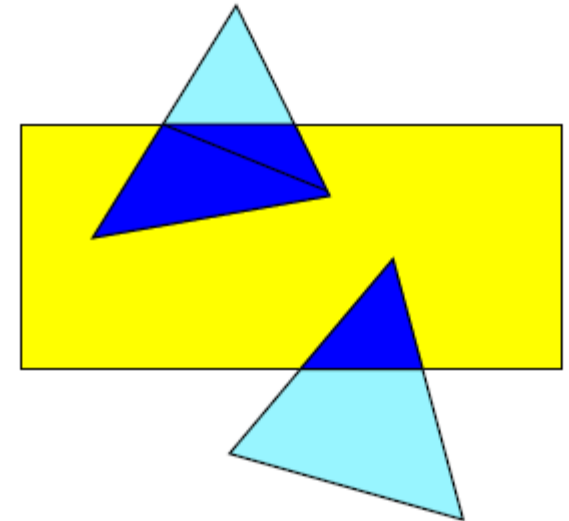
- $\vec{n} \cdot (\vec{a} + t(\vec{b} - \vec{a}) - \vec{q}) = 0$

- $t = \frac{\vec{n} \cdot \vec{a} + \vec{n} \cdot \vec{q}}{\vec{n} \cdot (\vec{a} - \vec{b})}$



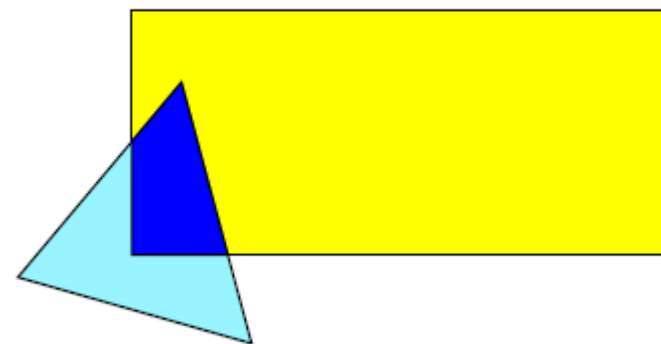
# Stwarzanie nowych trójkątów

- Na podstawie **dwóch punktów intersekcji** możemy pociąć nasz trójkąt według naszej hiperpłaszczyzny w następujący sposób:
  - Jak **dwa wierzchołki** są zewnątrz hiperpłaszczyzny dostajemy **nowy trójkąt**
  - Jak **jeden wierzchołek** jest zewnątrz hiperpłaszczyzny dostajemy **dwa nowe trójkąty**



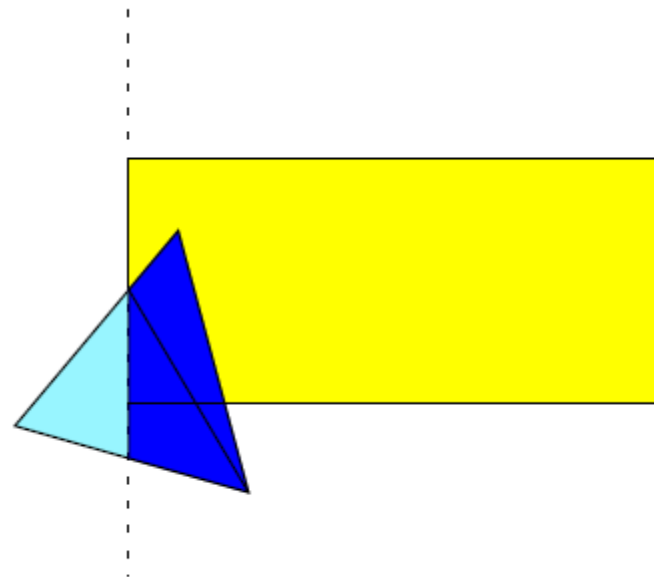
# Stwarzanie nowych trójkątów

- Ale co gdy trójkąt jest przecinany przez dwie płaszczyzny?



# Stwarzanie nowych trójkątów

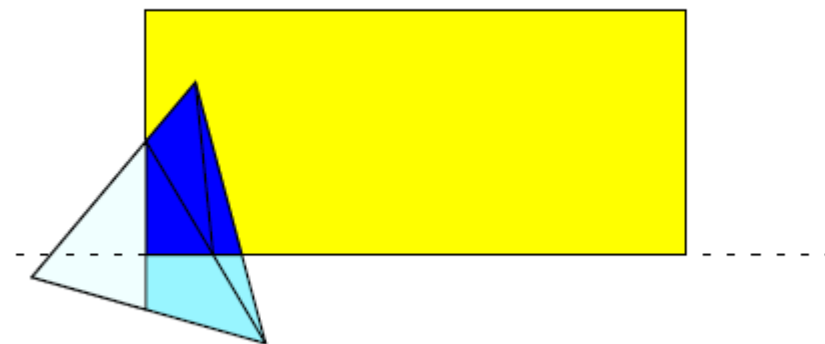
- Przecinamy względem jednej





# Stwarzanie nowych trójkątów

- Przycinamy względem drugiej



$$\begin{bmatrix} x \\ y \\ z \\ 1 \end{bmatrix}$$

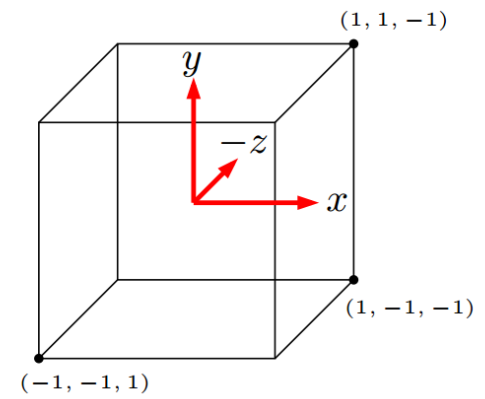
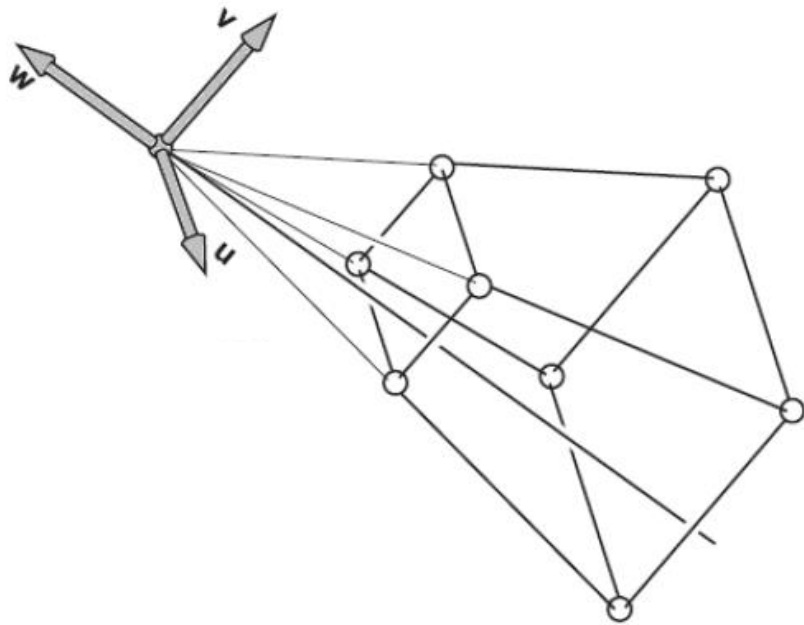
Macierz transformacji

$$\begin{bmatrix} x' \\ y' \\ z' \\ w \end{bmatrix}$$

Homogenizacja

$$\begin{bmatrix} x'/w \\ y'/w \\ z'/w \\ 1 \end{bmatrix}$$

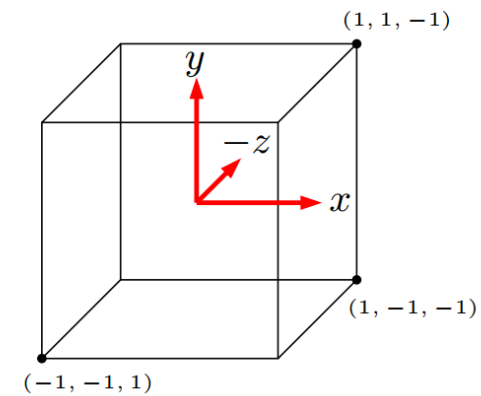
Rasteryzacja



# Clipping po homogenizacji

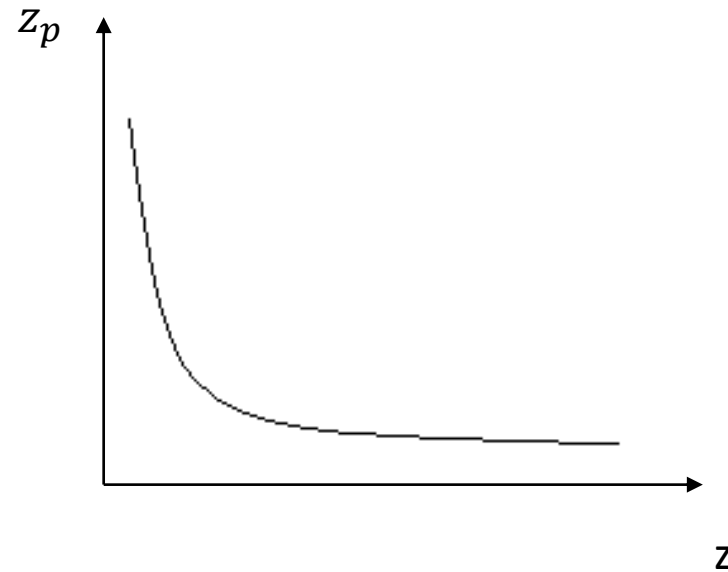
- Proste równania dla hiperpłaszczyzn:

$$\begin{aligned} -x + l &= 0 \\ x - r &= 0 \\ -y + b &= 0 \\ y - t &= 0 \\ -z + n &= 0 \\ z - f &= 0 \end{aligned}$$



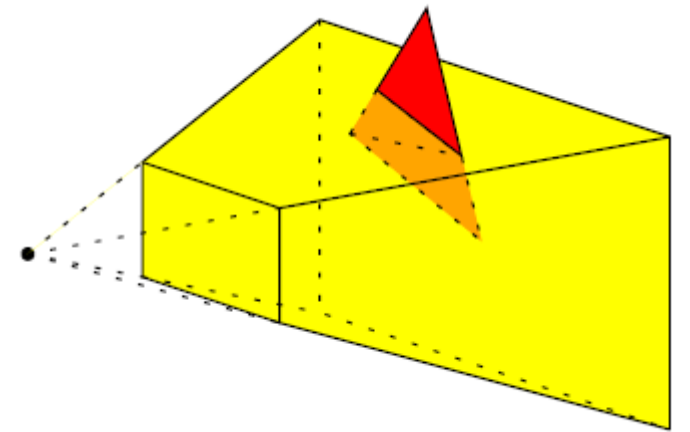
# Problem z płaszczyzną XY

$$z_p = n + f - \frac{fn}{z} \rightarrow z_p \sim \frac{1}{z}$$



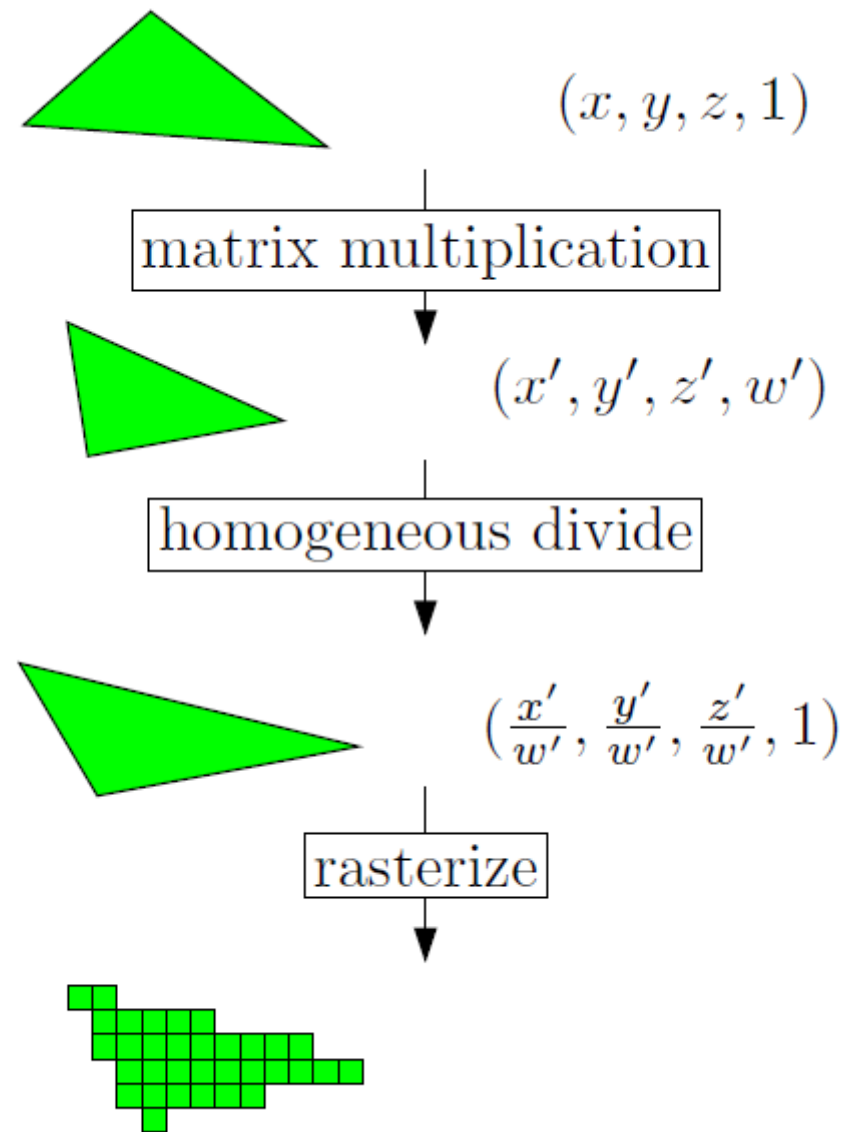
# Clipping przed homogenizacją

- Wierzchołki bryły widzenia da się obliczyć przez  $M_{per}^{-1}$
- Wtedy równania płaszczyzn bryły widzenia można wyprowadzić



# Clipping w systemie współrzędnych jednorodnych

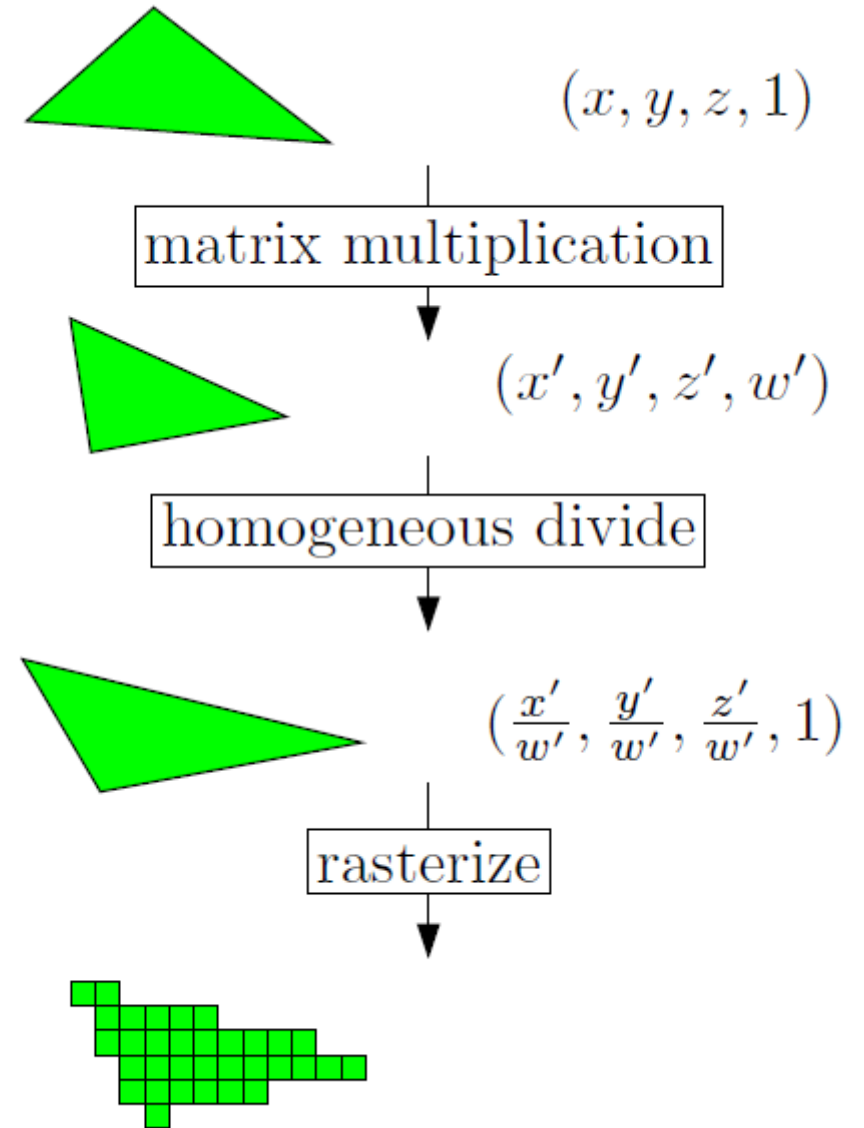
- Jednak najłatwiej da się wykonać **clipping** w systemie **współrzędnych jednorodnych**. To znaczy: ucinamy trójkąty w **czterech wymiarach** według **trójwymiarowych hiperpłaszczyzn**.



# Clipping w systemie współrzędnych jednorodnych

- Jednak najłatwiej da się wykonać **clipping** w systemie **współrzędnych jednorodnych**. To znaczy: ucinamy trójkąty w **czterech wymiarach** według **trójwymiarowych hiperpłaszczyzn**.

$$\begin{aligned} -x' + lw' &= 0 \\ x' - rw' &= 0 \\ -y' + bw' &= 0 \\ y' - tw' &= 0 \\ -z' + nw' &= 0 \\ z' - fw' &= 0 \end{aligned}$$



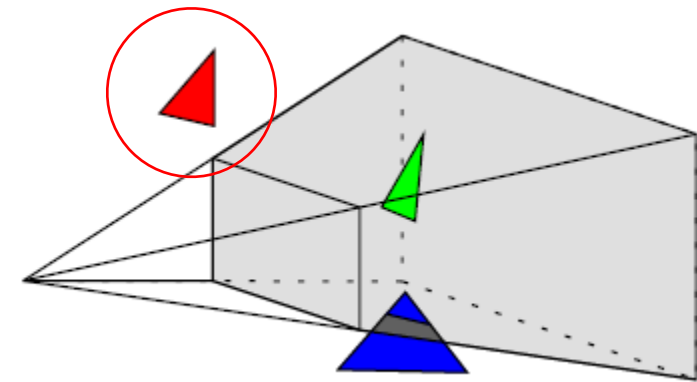
# Algorytmy clippingu dla dowolnych wielokątów

- Greiner-Hormann
- Sutherland–Hodgman
- Weiler–Atherton
- Vatti



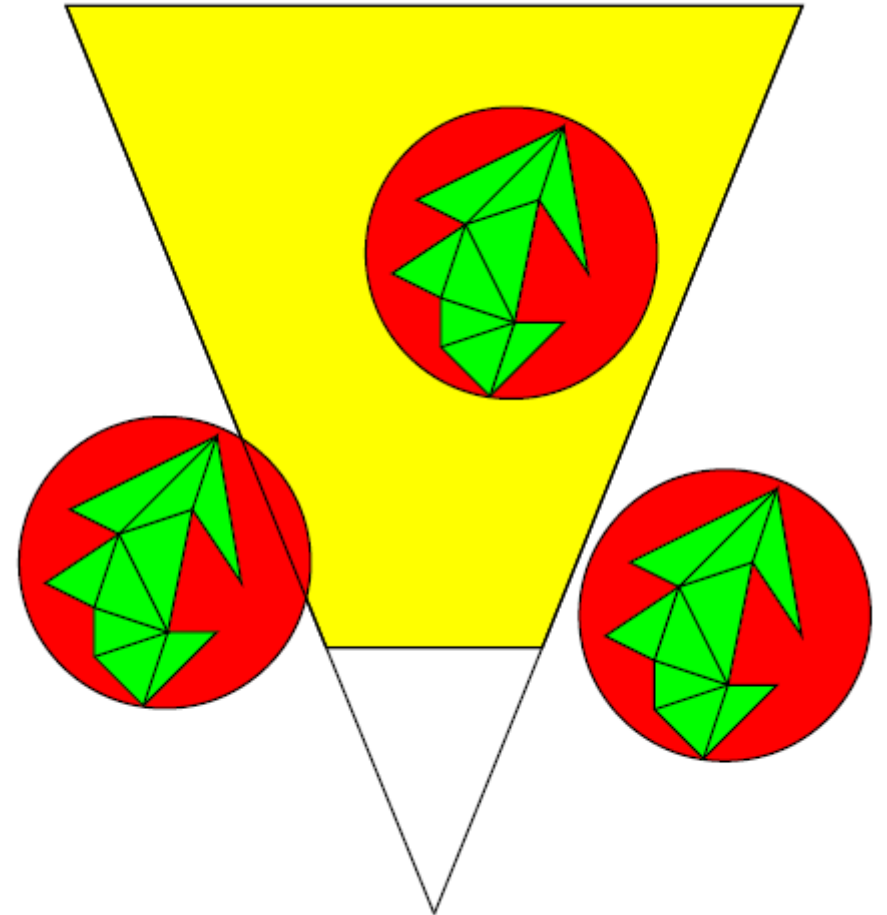
# Culling

- Gdy jednak trójkąt leży poza bryłą widzenia usuwamy go całkowicie z dalszych obliczeń
- Testowanie wierzchołków jest jednak kosztowne...



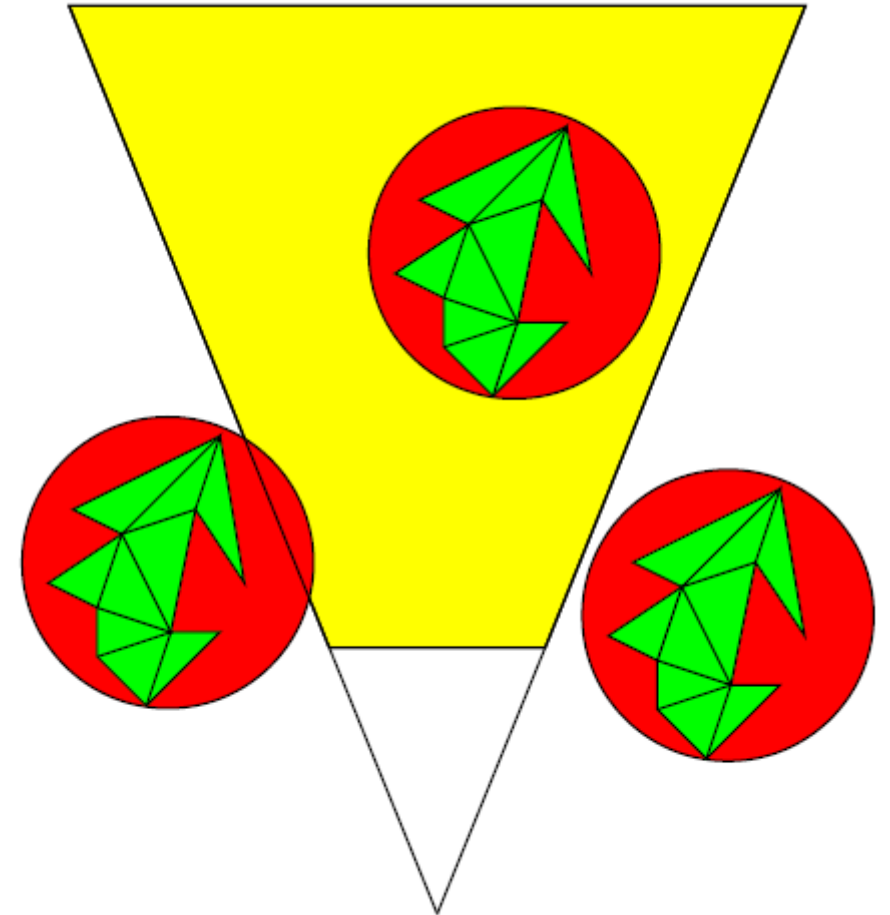
# Bryły brzegowe (bounding volumes)

- Używanie brył brzegowych dla skomplikowanych obiektów geometrycznych przyspiesza potok graficzny



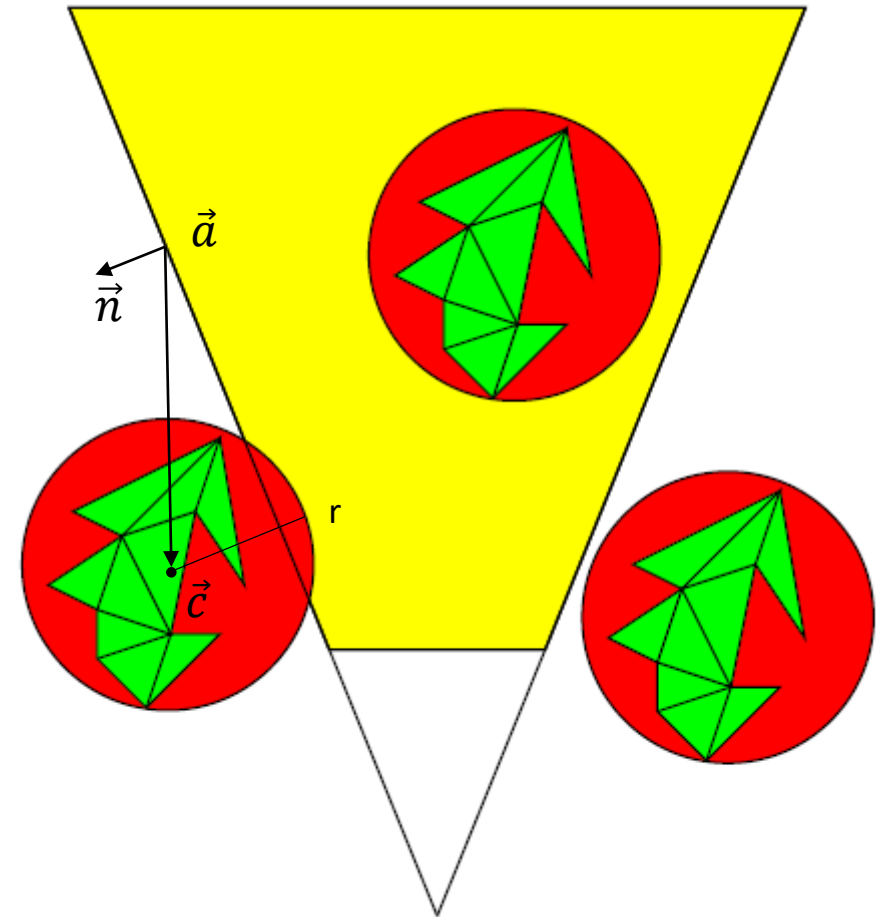
# Bryły brzegowe (bounding volumes)

- Często kule są używane jako bryły brzegowe
- Jak płaszczyzna jest dana przez
- $(\vec{p} - \vec{a}) \cdot \vec{n} = 0$
- i kula ma środek  $\vec{c}$  i promień  $r$ , wtedy sprawdzamy nierówność
- $\frac{(\vec{c} - \vec{a}) \cdot \vec{n}}{\|\vec{n}\|} > r$



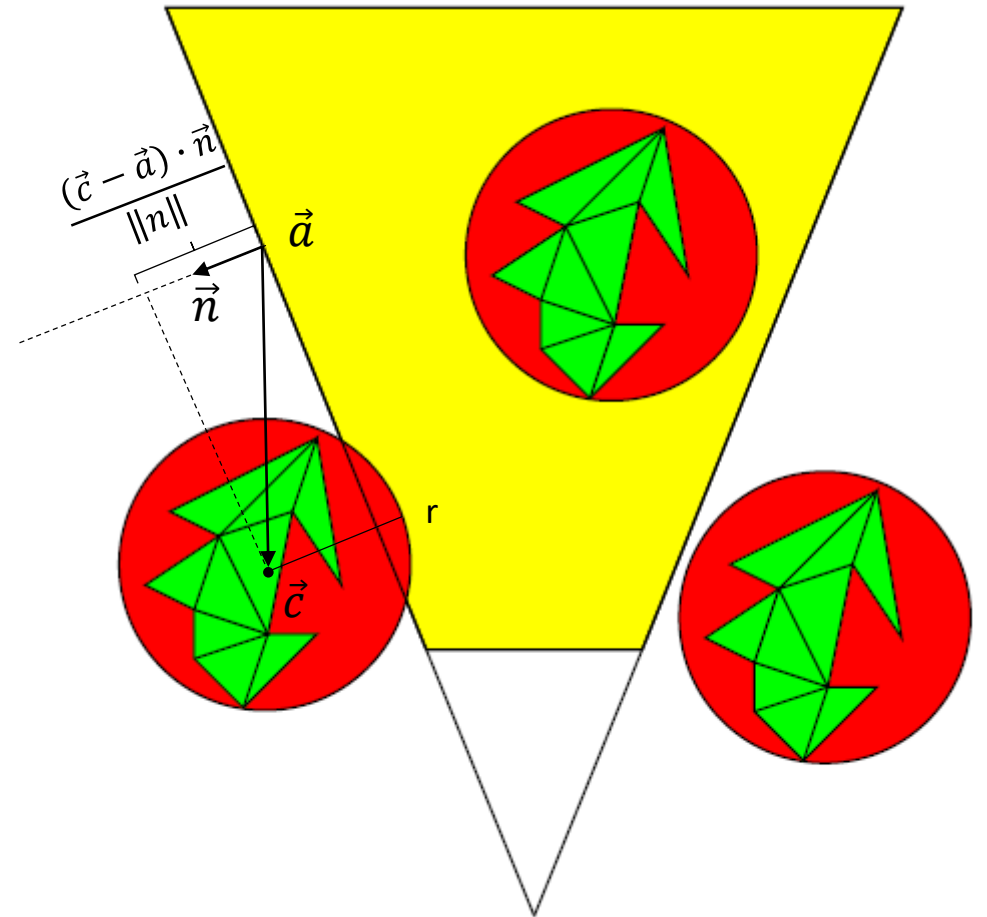
# Bryły brzegowe (bounding volumes)

- Często kule są używane jako bryły brzegowe
- Jak płaszczyzna jest dana przez
- $(\vec{p} - \vec{a}) \cdot \vec{n} = 0$
- i kula ma środek  $\vec{c}$  i promień  $r$ , wtedy sprawdzamy nierówność
- $\frac{(\vec{c} - \vec{a}) \cdot \vec{n}}{\|\vec{n}\|} > r$



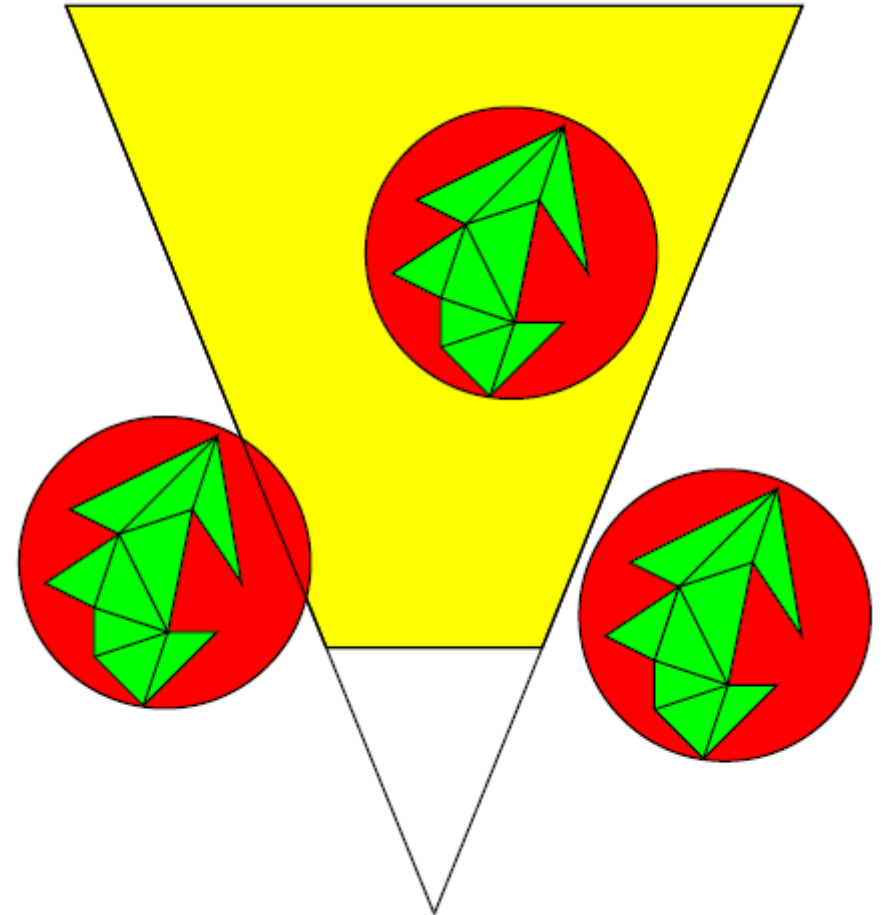
# Bryły brzegowe (bounding volumes)

- Często kule są używane jako bryły brzegowe
- Jak płaszczyzna jest dana przez
- $(\vec{p} - \vec{a}) \cdot \vec{n} = 0$
- i kula ma środek  $\vec{c}$  i promień  $r$ , wtedy sprawdzamy nierówność
- $\frac{(\vec{c} - \vec{a}) \cdot \vec{n}}{\|\vec{n}\|} > r$



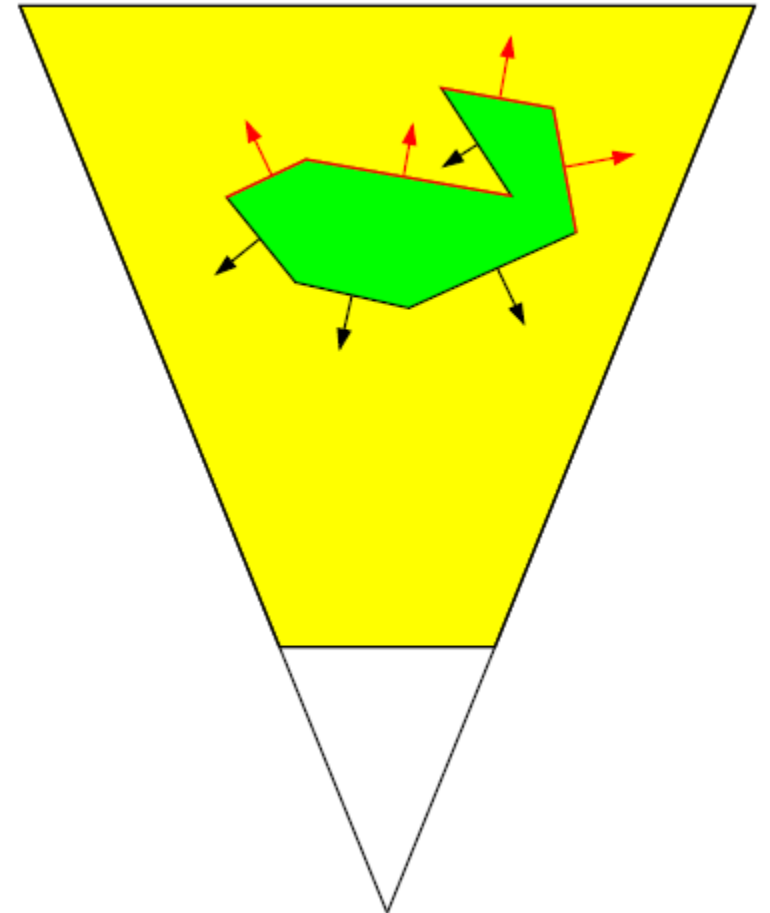
# Culling

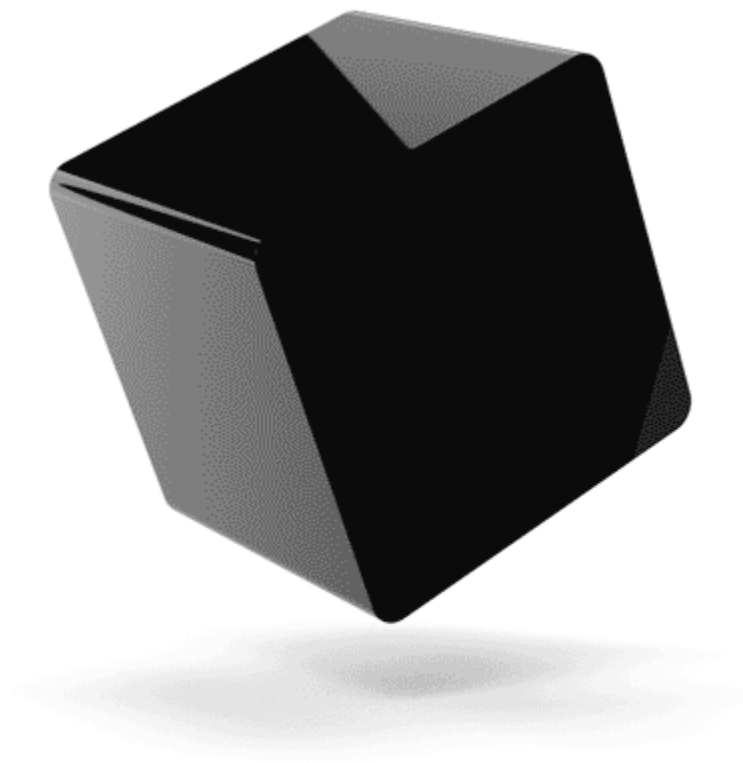
- **Frustum culling**  
usuwanie trójkątów poza bryły widzenia
- **Backface culling**  
usuwanie trójkątów orientowane od pozycji kamery



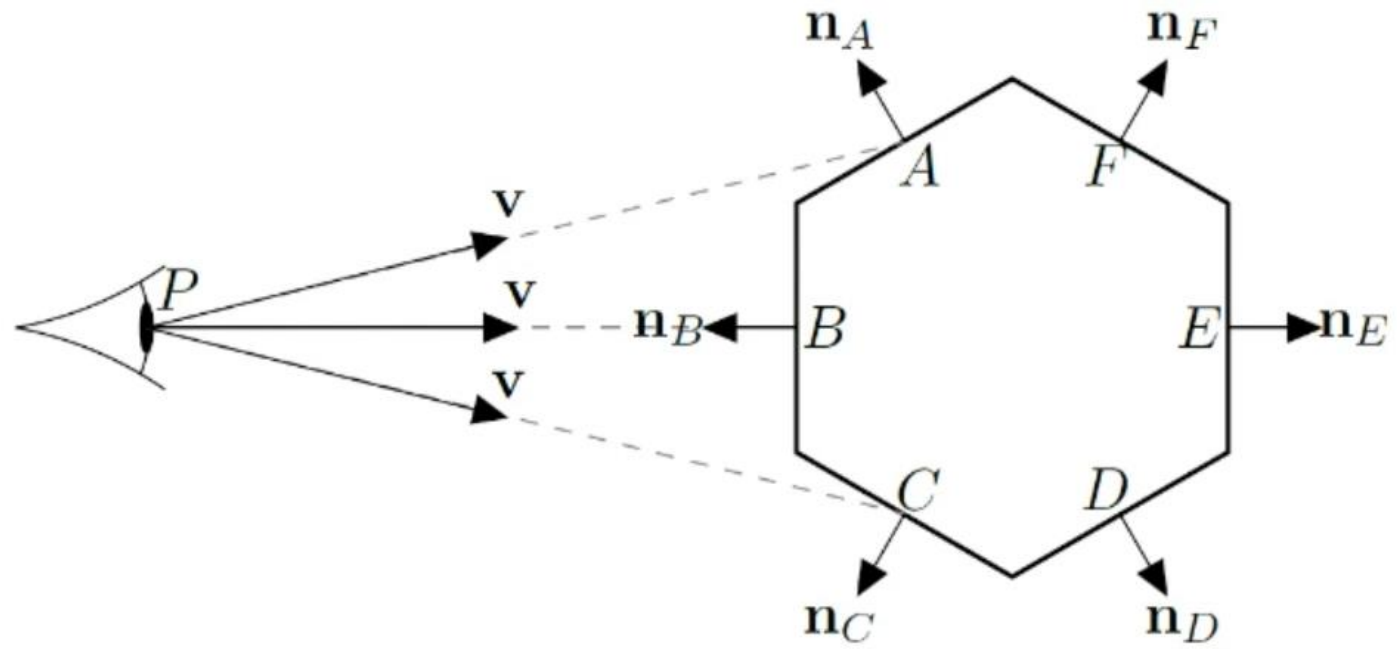
# Backface culling

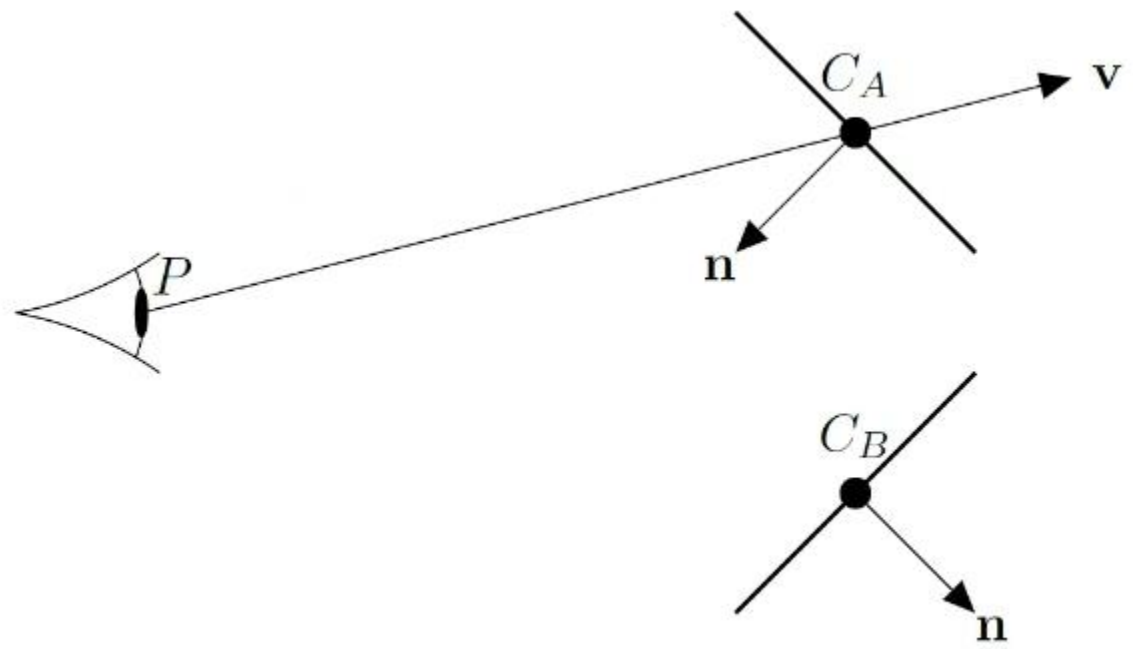
- Gdy modelujemy obiekty geometryczne za pomocą trójkątów to **normalna trójkątów** jest ustawiona na **zewnątrz** obiektu
- Odrzucanie trójkątów których normalna jest skierowana **od punktu widzenia** nazywamy to **backface culling** (usuwanie powierzchni tylnych)

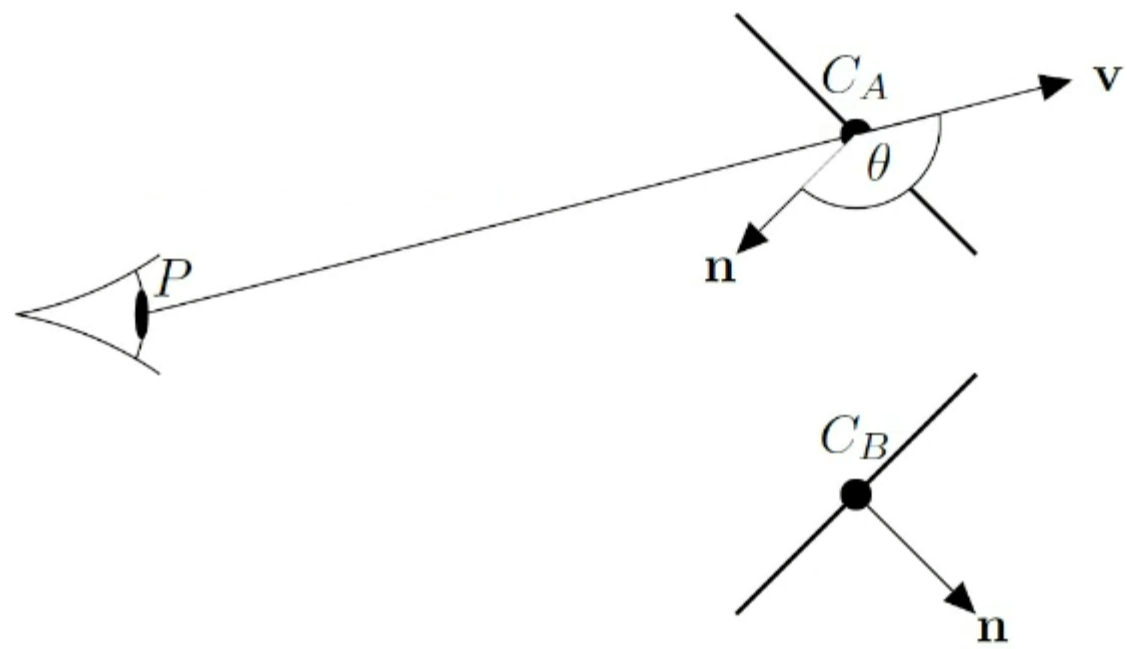


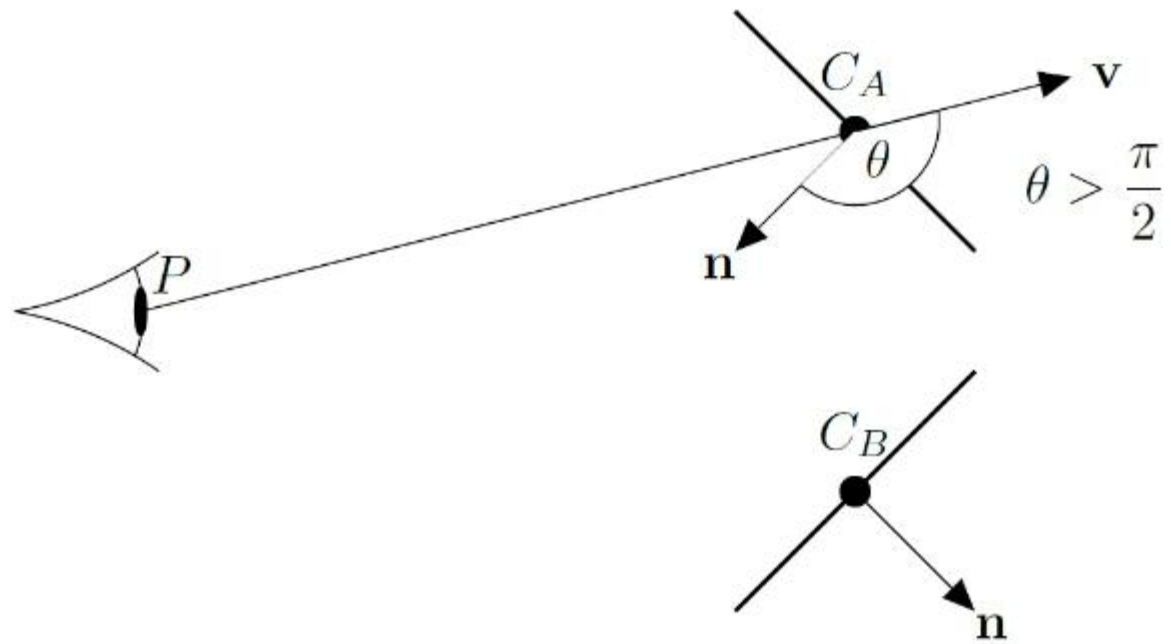


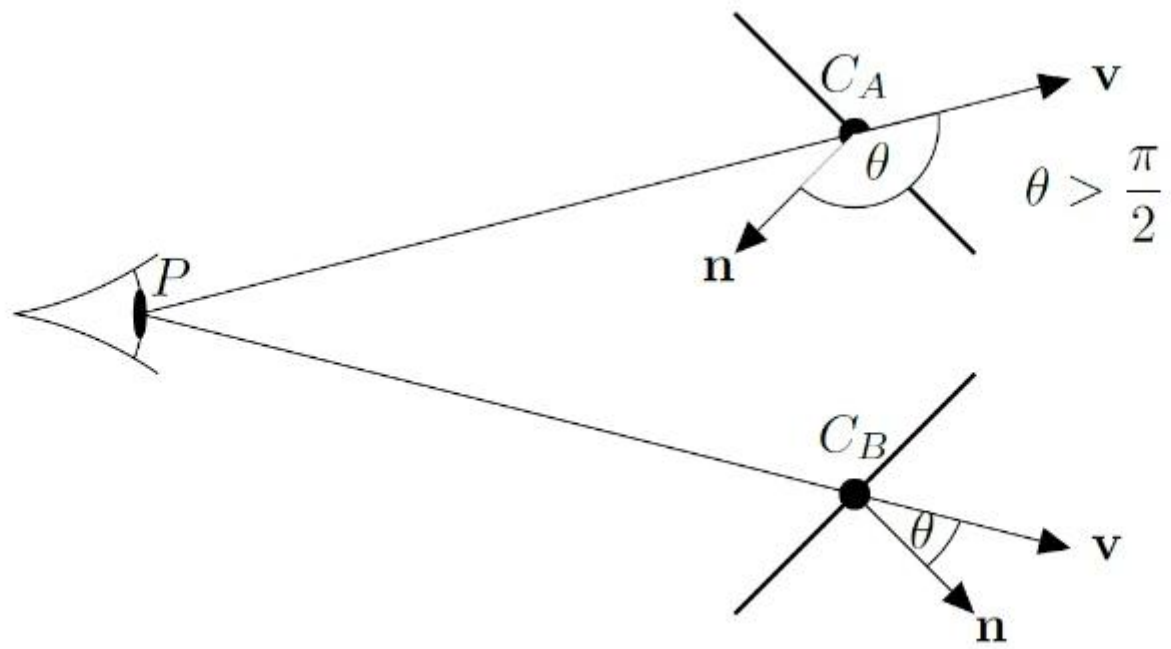


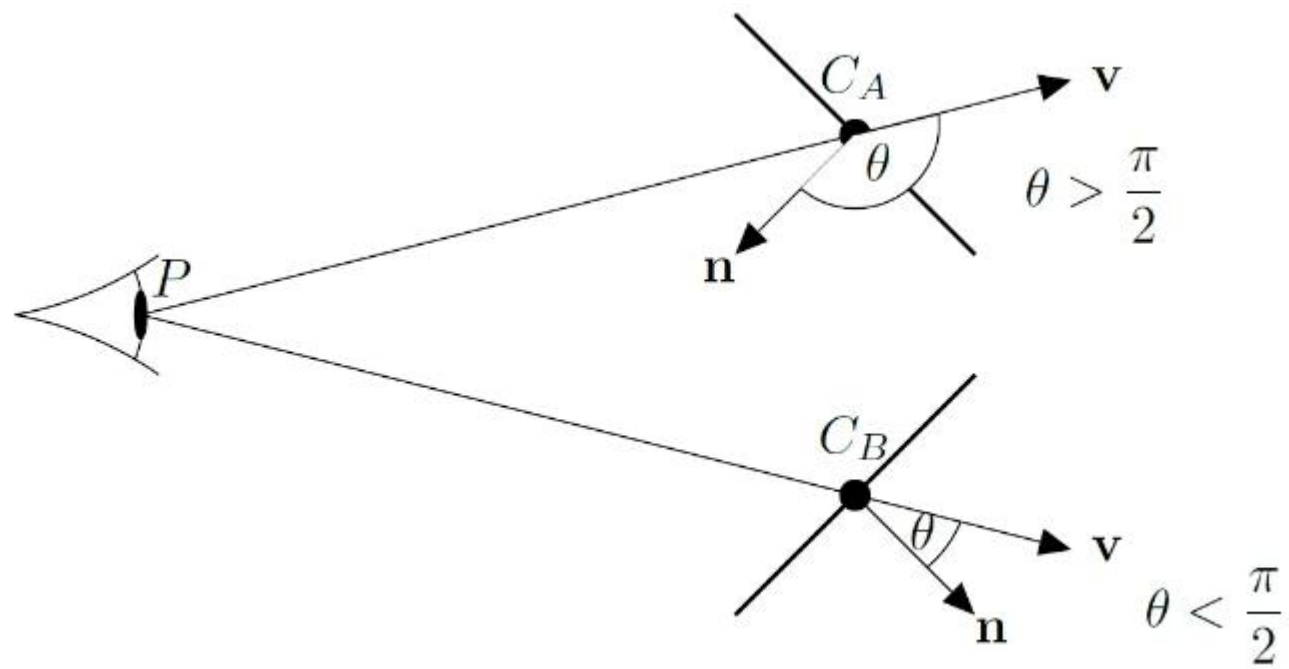


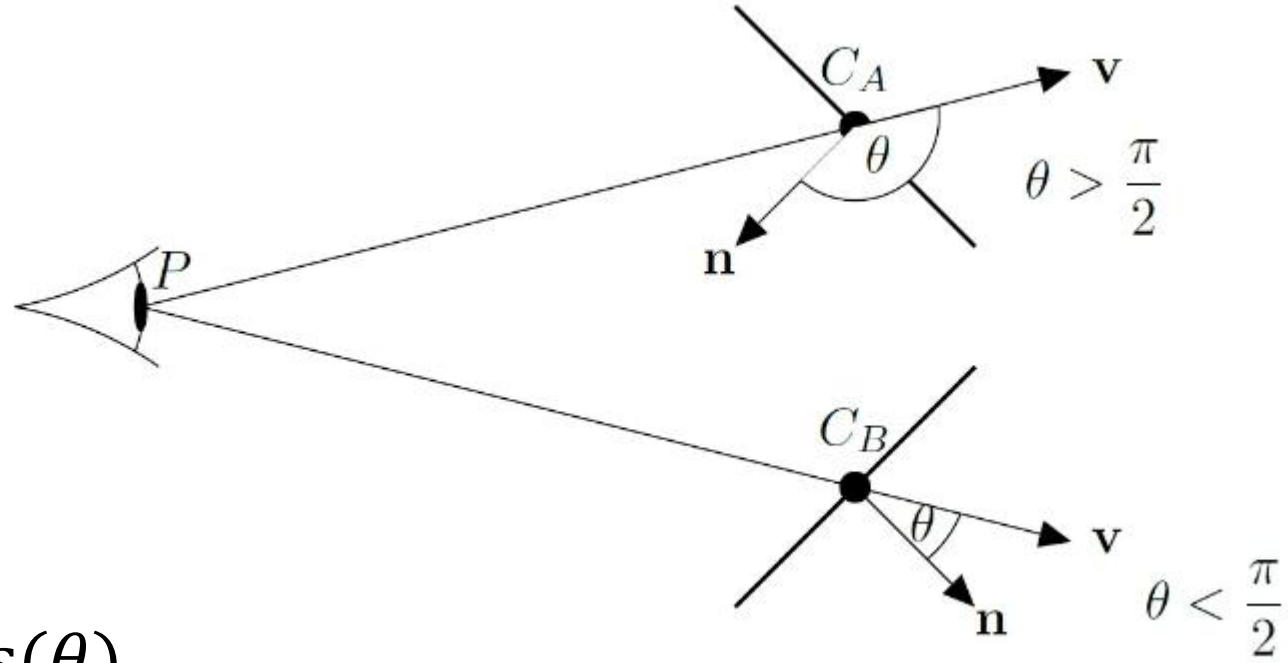




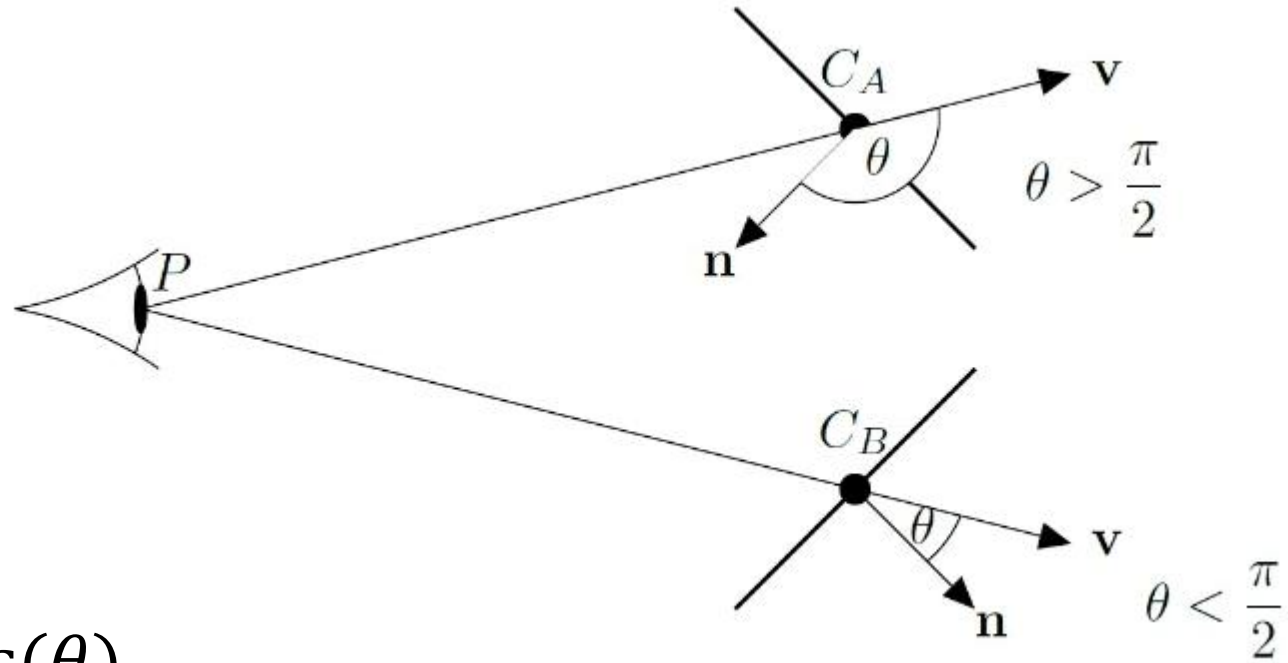








•  $\mathbf{v} \cdot \mathbf{n} = |\mathbf{v}||\mathbf{n}|\cos(\theta)$



- $\mathbf{v} \cdot \mathbf{n} = |\mathbf{v}||\mathbf{n}|\cos(\theta)$

- Skierowany do przodu gdy  $\theta > \frac{\pi}{2}$ , dlatego  $\cos(\theta) < 0$  i  $\mathbf{v} \cdot \mathbf{n} < 0$



---

**Algorithm** Back face culling

---

**Require:** Vertex co-ordinates of polygons and an viewpoint  $P$

**for all** polygons in the virtual world **do**

    calculate the normal vector  $\mathbf{n}$  of the current polygon

    calculate the centre  $C$  of the current polygon

    calculate the viewing vector  $\mathbf{v} = C - P$

**if**  $\mathbf{v} \cdot \mathbf{n} < 0$  **then**

        render current polygon

**end if**

**end for**

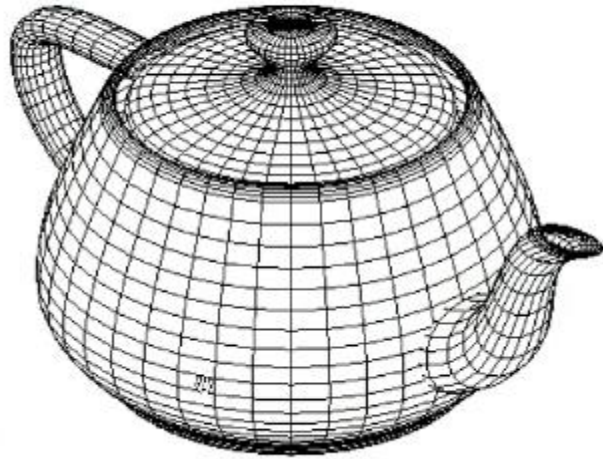
---



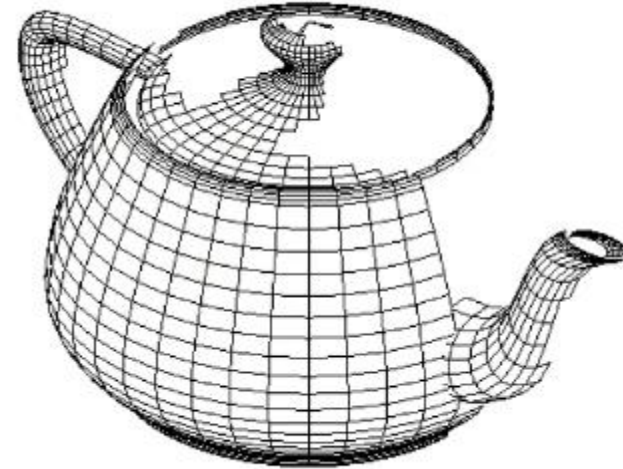
wszystkie wielokąty



backface culling

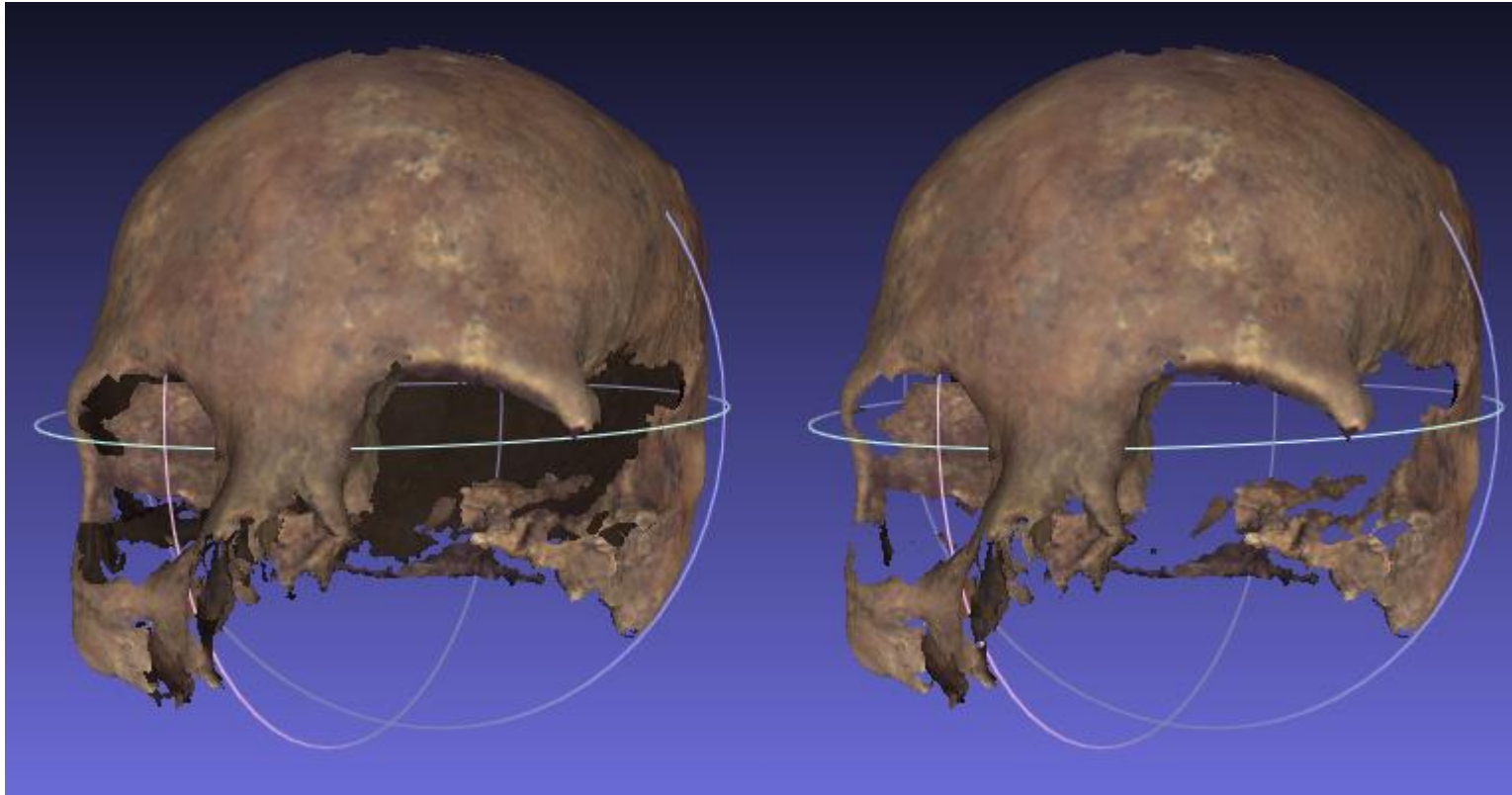


wszystkie wielokąty



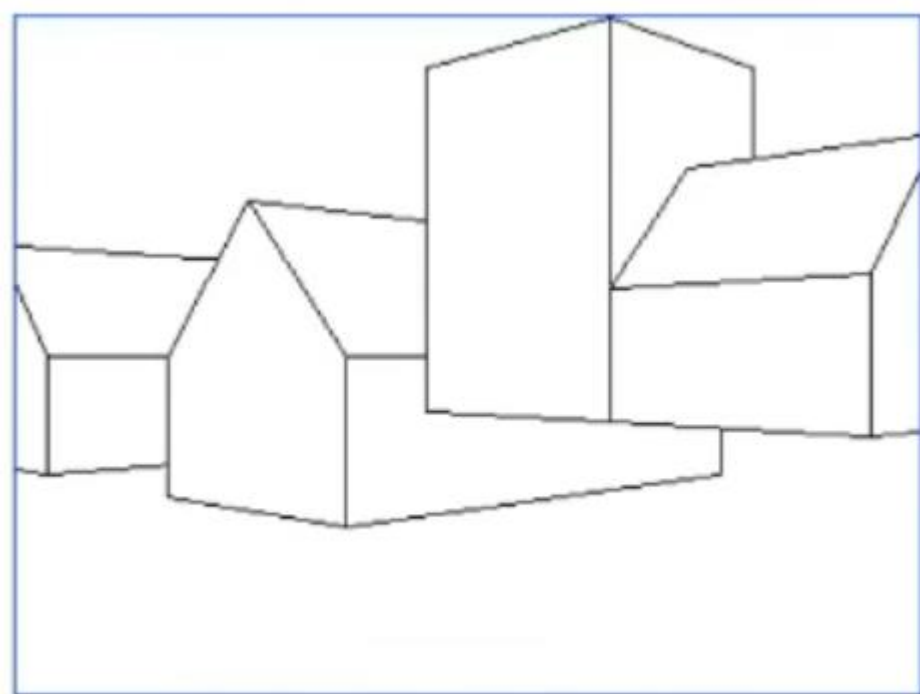
backface culling

# Przykład

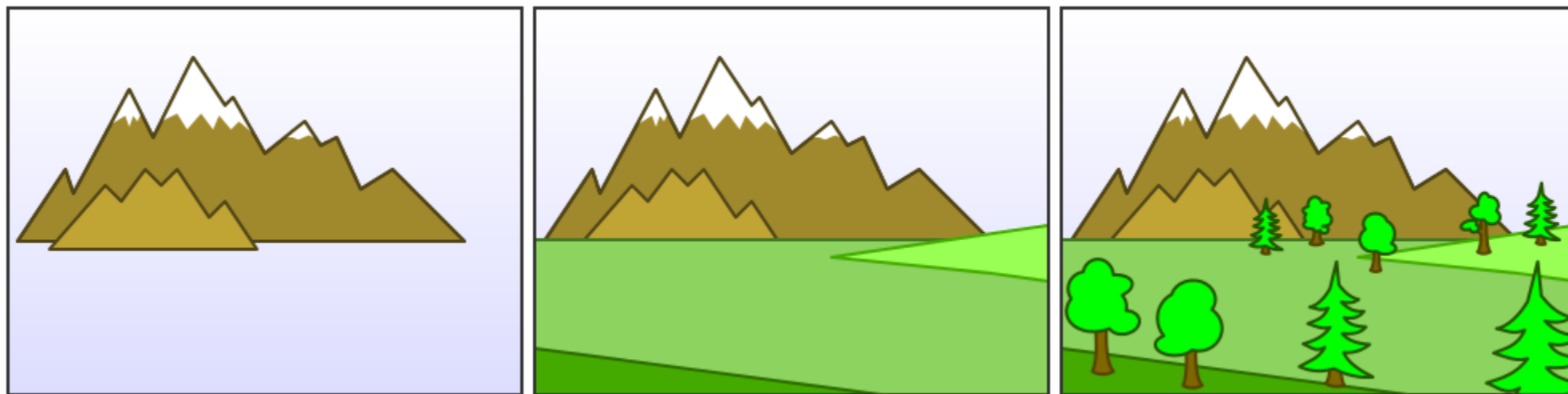


Bez backface culling

Backface culling



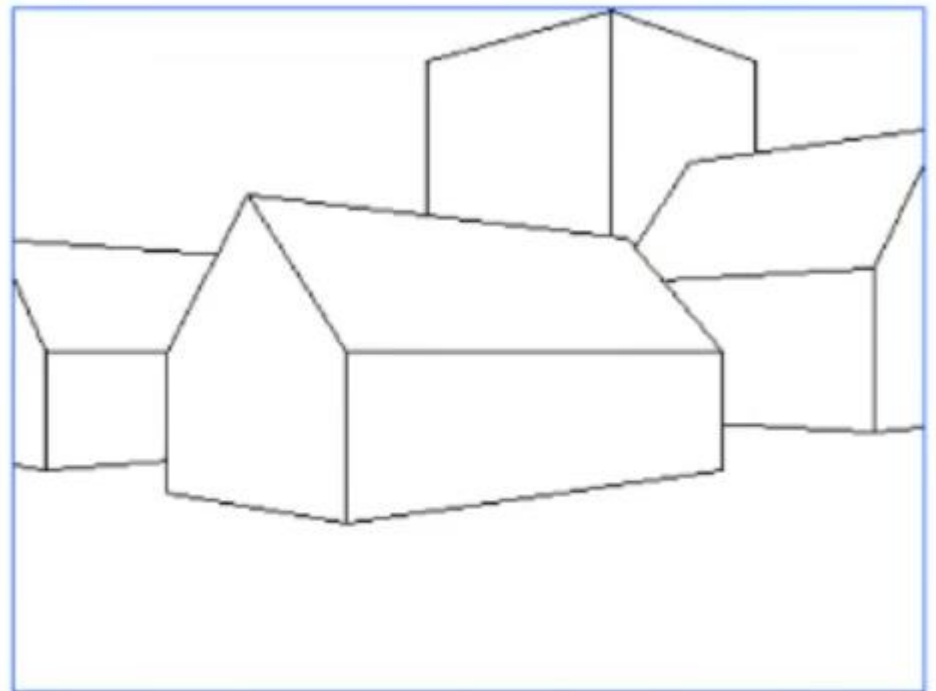
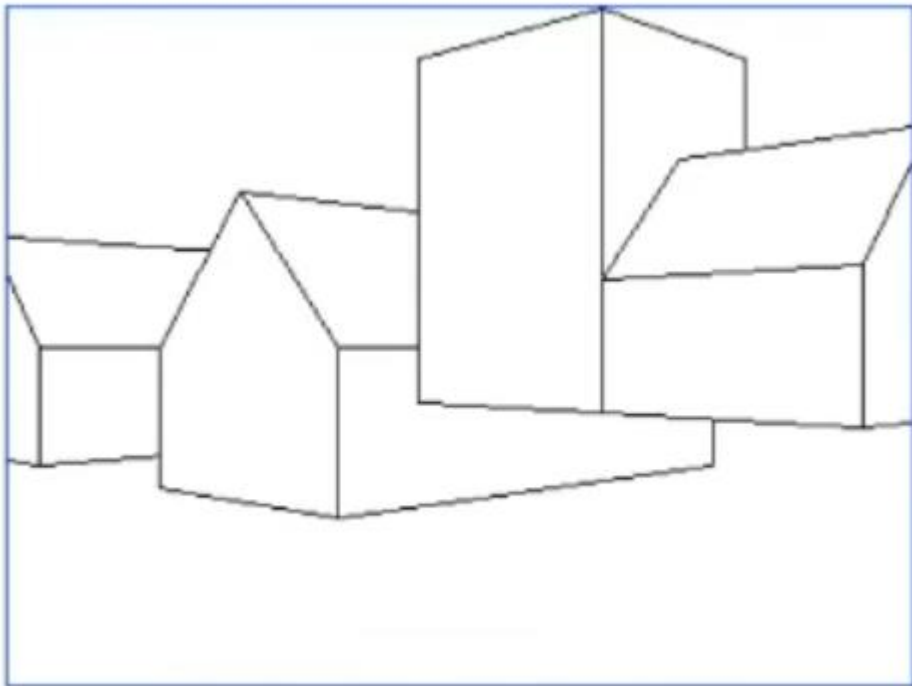
# Algorytm malarza (painter's algorithm)



# Algorytm malarza (painter's algorithm)

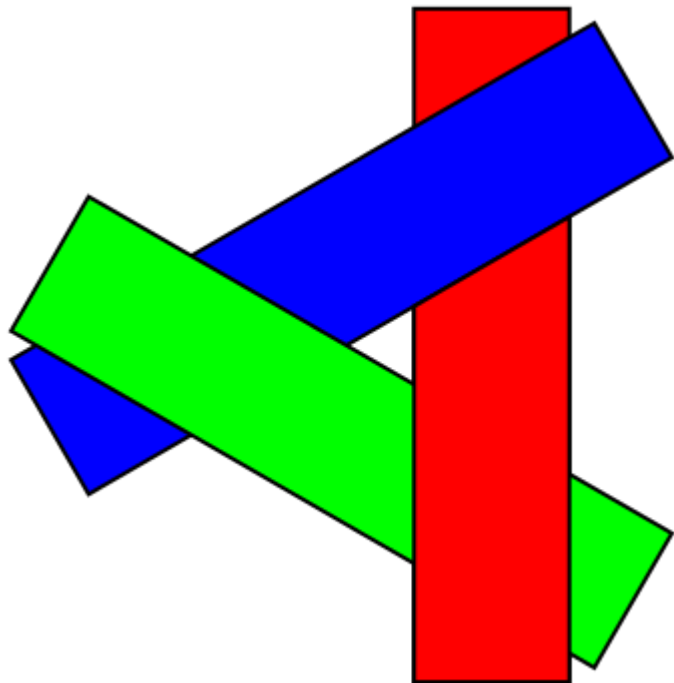
- Algorytm rysuje wielokąty w kolejności odległości od kamery
- Najmniejsza współrzędna  $z_s$  od wszystkich wielokątów jest używana żeby odległość obliczyć
- Blizsze wielokąty zasłaniają te które są dalej

# Przykład





# Częściowe pokrywanie wielokątów



# Z-bufor

- Algorytm z-buforu jest podobny w koncepcji do algorytmu malarza ale na skali pikseli
- Dwie tablice są stworzone gdzie każdy piksel koresponduje jednemu elementu tablicy
- **Bufor głębokości** (depth buffer) zatrzymuje dystans **z** od najbliższej powierzchni w ułożonej przestrzeni świata dla każdego pikselu
- **Bufor klatek** (frame buffer) zatrzymuje indeksy wielokątów (żeby później wybrać właściwe kolory)

# Z-buffer

---

**Algorithm 1** Z buffer

---

**Require:** a set of polygons  $P$ , a depth buffer array  $Z$  and a frame buffer array  $F$   
initialise  $Z$  to  $z_{\max}$   
**for all** polygons in  $P$  **do**  
    **for all** pixels in the current polygon **do**  
        calculate the  $z$  co-ordinate of the point corresponding to the current pixel  
        **if**  $z < Z(x, y)$  **then**  
            Replace  $Z(x, y)$  with  $z$   
            Replace  $F(x, y)$  with the colour of the current polygon  
        **end if**  
    **end for**  
**end for**  
Display  $F$  on screen

---

∞	∞	∞	∞	∞	∞	∞	∞	∞	∞
∞	∞	∞	∞	∞	∞	∞	∞	∞	∞
∞	∞	∞	∞	∞	∞	∞	∞	∞	∞
∞	∞	∞	∞	∞	∞	∞	∞	∞	∞
∞	∞	∞	∞	∞	∞	∞	∞	∞	∞
∞	∞	∞	∞	∞	∞	∞	∞	∞	∞
∞	∞	∞	∞	∞	∞	∞	∞	∞	∞
∞	∞	∞	∞	∞	∞	∞	∞	∞	∞
∞	∞	∞	∞	∞	∞	∞	∞	∞	∞
∞	∞	∞	∞	∞	∞	∞	∞	∞	∞

Z buffer


Frame buffer

$\infty$	$\infty$	$\infty$	$\infty$	$\infty$	$\infty$	$\infty$	$\infty$	$\infty$	$\infty$
$\infty$	1	2	3	4	5	6	7	$\infty$	$\infty$
$\infty$	1	2	3	4	5	6	$\infty$	$\infty$	$\infty$
$\infty$	1	2	3	4	5	$\infty$	$\infty$	$\infty$	$\infty$
$\infty$	1	2	3	4	$\infty$	$\infty$	$\infty$	$\infty$	$\infty$
$\infty$	1	2	3	$\infty$	$\infty$	$\infty$	$\infty$	$\infty$	$\infty$
$\infty$	1	2	$\infty$	$\infty$	$\infty$	$\infty$	$\infty$	$\infty$	$\infty$
$\infty$	1	$\infty$	$\infty$	$\infty$	$\infty$	$\infty$	$\infty$	$\infty$	$\infty$
$\infty$	$\infty$	$\infty$	$\infty$	$\infty$	$\infty$	$\infty$	$\infty$	$\infty$	$\infty$
$\infty$	$\infty$	$\infty$	$\infty$	$\infty$	$\infty$	$\infty$	$\infty$	$\infty$	$\infty$

Z buffer


Frame buffer

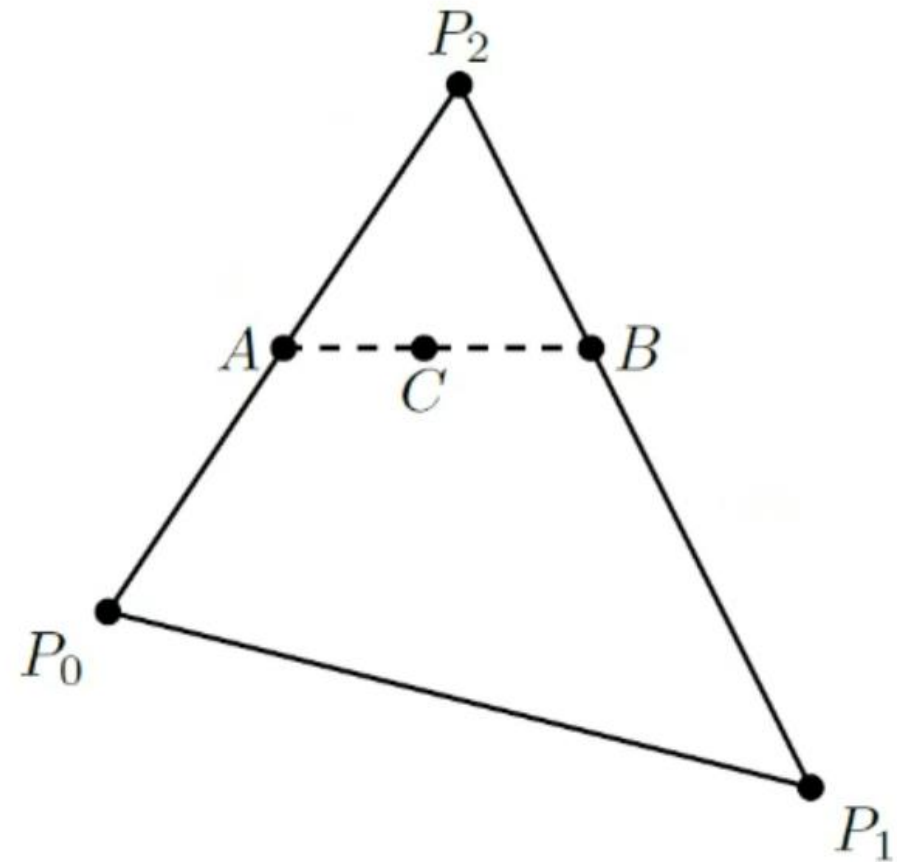
$\infty$	$\infty$	$\infty$	$\infty$	$\infty$	$\infty$	$\infty$	$\infty$	$\infty$	$\infty$
$\infty$	1	2	3	4	5	6	7	$\infty$	$\infty$
$\infty$	1	2	3	4	4	3	2	1	$\infty$
$\infty$	1	2	3	4	4	3	2	1	$\infty$
$\infty$	1	2	3	4	4	3	2	1	$\infty$
$\infty$	1	2	3	5	4	3	2	1	$\infty$
$\infty$	1	2	6	5	4	3	2	1	$\infty$
$\infty$	1	$\infty$	$\infty$	$\infty$	$\infty$	$\infty$	$\infty$	$\infty$	$\infty$
$\infty$	$\infty$	$\infty$	$\infty$	$\infty$	$\infty$	$\infty$	$\infty$	$\infty$	$\infty$
$\infty$	$\infty$	$\infty$	$\infty$	$\infty$	$\infty$	$\infty$	$\infty$	$\infty$	$\infty$

Z buffer


Frame buffer

# Jak wewnętrzne punkty są obliczone

- Przejdź wszystkie horyzontalne wiersze pikseli (scan lines) od góry do dołu
- Oblicz piksele na lewym i prawym rogu linii skanowania przez interpolacje pomiędzy punktami  $P$
- Oblicz piksele na linii skanowania  $C$  interpolując między nimi  $A$  i  $B$



- Interpolowanie między wierzchołkami:

- $x_{A,i+1} = x_{A,i} - \Delta x_A$

- $x_{B,i+1} = x_{B,i} - \Delta x_B$

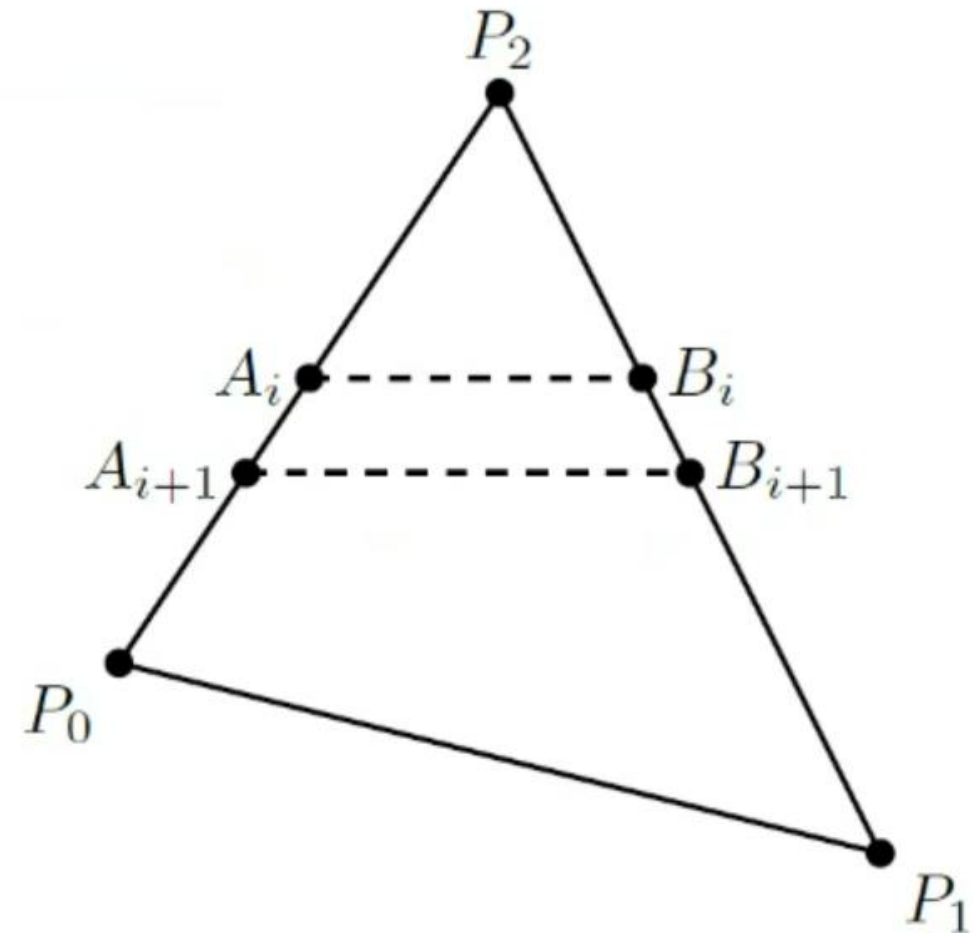
- $y_{A,i+1} = y_{A,i} - 1$

- $y_{B,i+1} = y_{B,i} - 1$

- Gdzie

- $\Delta x_A = \frac{y_A - y_0}{y_2 - y_0}$

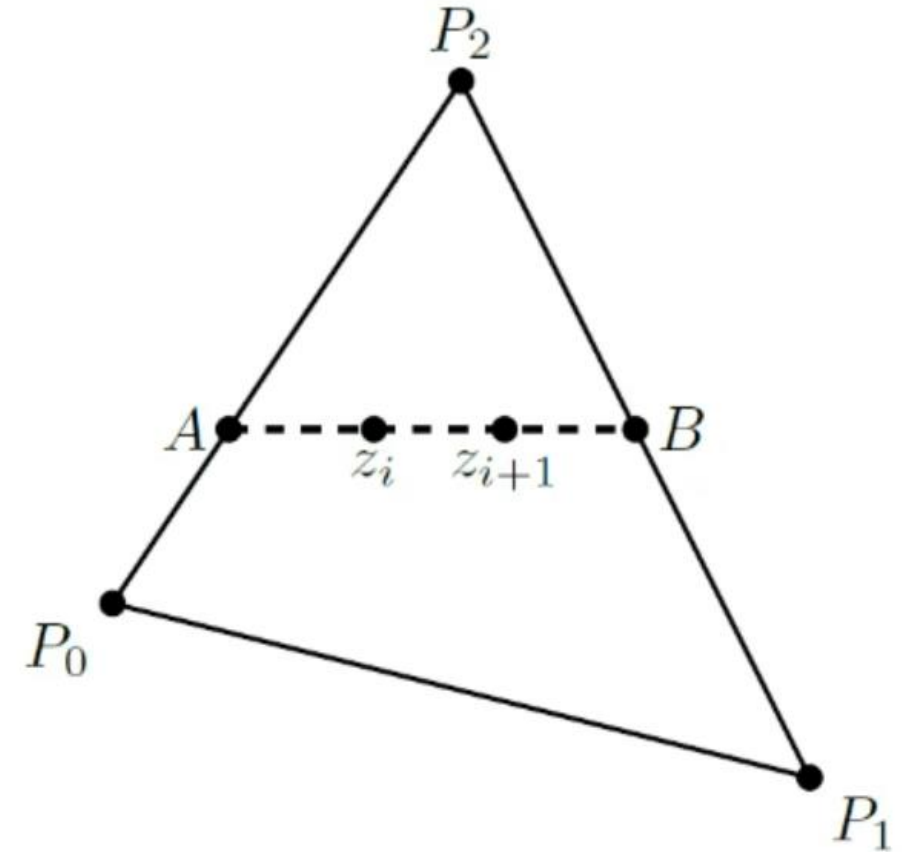
- $\Delta x_B = \frac{y_B - y_1}{y_2 - y_1}$





# Obliczanie z

- Używając równanie wektorowe płaszczyzny:
- $N \cdot r = s$
- Wartość  $z_{i+1}$  jest  $z_{i+1} = z_i - \frac{n_x}{n_z}$
- Gdzie  $\frac{n_x}{n_z}$  jest stała



# Wymogi pamięciowe

- Dla wyświetlacza 1920 x 1080 pikseli używając 16b RGB model kolorowy i 24b buforu głębokości zużycie pamięci jest:

# Wymogi pamięciowe

- Dla wyświetlacza 1920 x 1080 pikseli używając 16b RGB model kolorowy i 24b buforu głębokości zużycie pamięci jest:
- $\textit{pamiec} = \textit{bufor glebokosci} + \textit{bufor klatek}$

# Wymogi pamięciowe

- Dla wyświetlacza 1920 x 1080 pikseli używając 16b RGB model kolorowy i 24b buforu głębokości zużycie pamięci jest:
- $pamiec = bufor\ glebokosci + bufor\ klatek$   
 $= (1920 \times 1080 \times 24) + (1920 \times 1080 \times 16)$

# Wymogi pamięciowe

- Dla wyświetlacza 1920 x 1080 pikseli używając 16b RGB model kolorowy i 24b buforu głębokości zużycie pamięci jest:
- $pamiec = bufor\ glebokosci + bufor\ klatek$   
 $= (1920 \times 1080 \times 24) + (1920 \times 1080 \times 16)$   
 $= 49766400 + 33,177,600$

# Wymogi pamięciowe

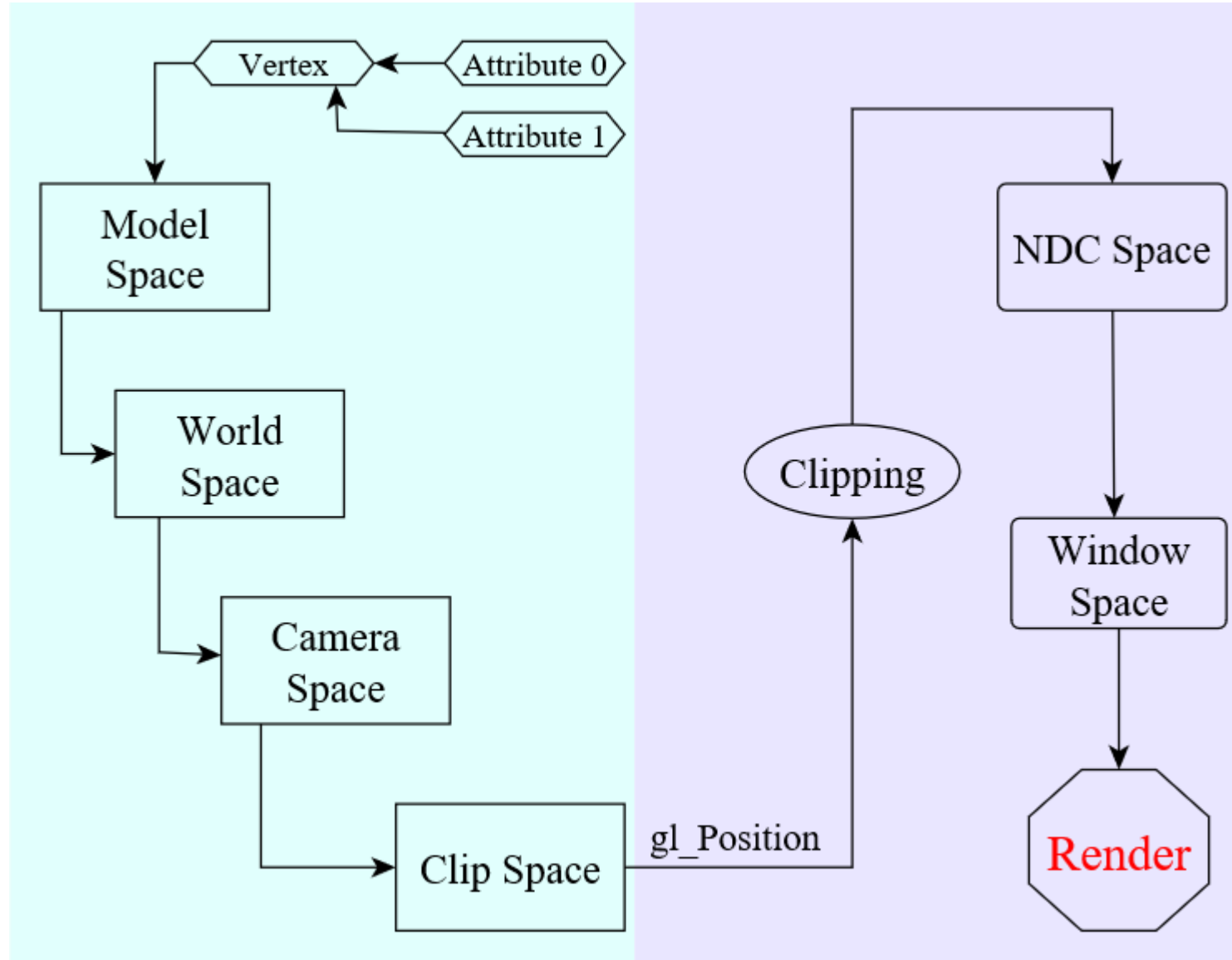
- Dla wyświetlacza 1920 x 1080 pikseli używając 16b RGB model kolorowy i 24b buforu głębokości zużycie pamięci jest:
- $pamiec = bufor\ glebokosci + bufor\ klatek$ 
  - $= (1920 \times 1080 \times 24) + (1920 \times 1080 \times 16)$
  - $= 49766400 + 33,177,600$
  - $= 82,944,000b$

# Wymogi pamięciowe

- Dla wyświetlacza 1920 x 1080 pikseli używając 16b RGB model kolorowy i 24b buforu głębokości zużycie pamięci jest:
- $pamiec = bufor\ glebokosci + bufor\ klatek$ 
  - $= (1920 \times 1080 \times 24) + (1920 \times 1080 \times 16)$
  - $= 49766400 + 33,177,600$
  - $= 82,944,000b$
  - $= 10,368,600B \sim 10MB$

# CPU

# GPU



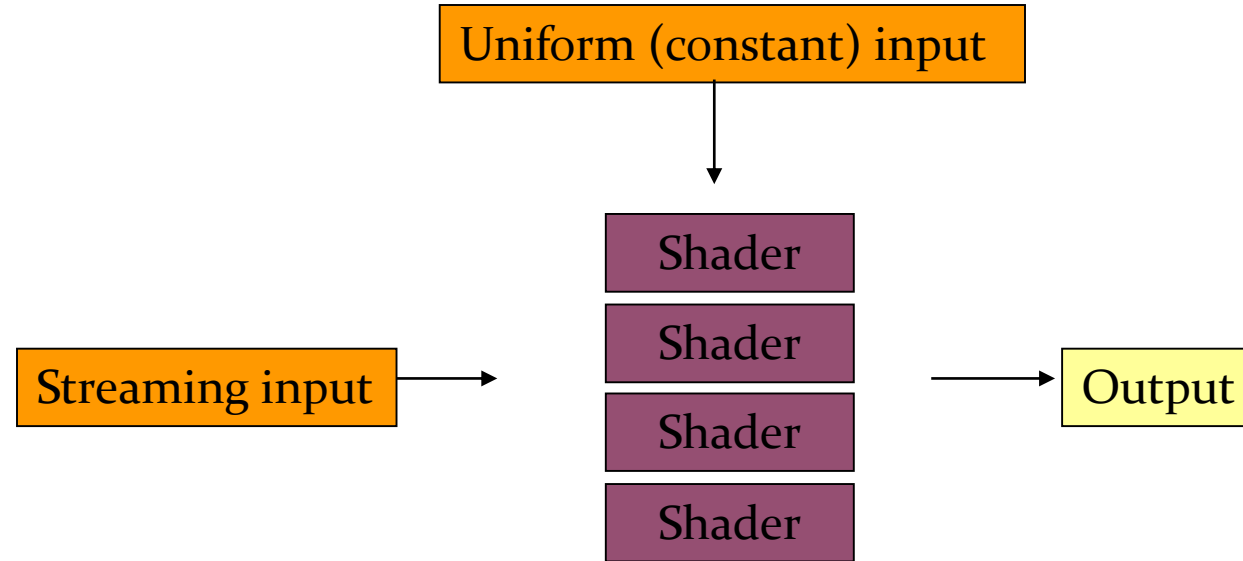




# GLSL syntaks

- GLSL jest jak C ale bez
  - Wskaźników
  - Rekursji
  - Dynamicznej alokacji pamięci
- GLSL jest jak C ale z
  - Domyślną obsługą wektorów i macierzy
  - Bardzo dobrą biblioteką matematyczną

# GLSL syntaks: `in` / `out` / `uniform`



# GLSL syntaks: *in/ out/ uniform*

- Przykład

```
#version 430

uniform mat4 u_ModelView;
layout (location = 0) in vec4 Position;
layout (location = 1) in vec4 Color;
out vec3 fs_Color;

void main(void)
{
    fs_Color = Color;
    gl_Position = u_ModelView * Position;
}
```

uniform: dane wejściowe które są stałe przez jedne wywołanie glDraw

in: dane wejściowe dla poszczególnych shaderow

out: dane wyjściowe shadera

# GLSL syntaks

- GLSL ma preprocesora

```
#version 330

#ifdef FAST_EXACT_METHOD
    FastExact();
#else
    SlowApproximate();
#endif

// ... many others
```

- Wszystkie shadery mają funkcje main()

```
void main(void)
{
}
```

# GLSL: Typy

- Typy skalarne: `float`, `int`, `uint`, `bool`
- Wektory też są typy domyślne:
  - `vec2`, `vec3`, `vec4`
  - `ivec*`, `uvec*`, `bvec*`
- Elementy wektorów można na kilka sposobów wywołać:
  - `.x`, `.y`, `.z`, `.w`      pozycja lub kierunek
  - `.r`, `.g`, `.b`, `.a`      kolor
  - `.s`, `.t`, `.p`, `.q`      współrzędne tekstur

`mojKolor.xyz`

`mojKolor.xgb`

# GLSL: Wektory

- Konstruktory:

```
vec3 xyz = vec3(1.0, 2.0, 3.0);
```

```
vec3 xyz = vec3(1.0); // [1.0, 1.0, 1.0]
```

```
vec3 xyz = vec3(vec2(1.0, 2.0), 3.0);
```

# GLSL: Wektory

- Swizzle: selekcja lub zamiana elementów

```
vec4 c = vec4(0.5, 1.0, 0.8, 1.0);  
  
vec3 rgb = c.rgb; // [0.5, 1.0, 0.8]  
  
vec3 bgr = c.bgr; // [0.8, 1.0, 0.5]  
  
vec3 rrr = c.rrr; // [0.5, 0.5, 0.5]  
  
c.a = 0.5; // [0.5, 1.0, 0.8, 0.5]  
c.rb = 0.0; // [0.0, 1.0, 0.0, 0.5]  
  
float g = rgb[1]; // 1.0, indeksowanie
```



# GLSL: Macierze

- Macierze są typy domyślne:
  - kwadratowa: `mat2`, `mat3`, `mat4`
  - M x N: `matmxn`    `m` kolumn, `n` wierszy
- Zapisywanie macierzy:

$$\begin{bmatrix} 1 & 4 & 7 \\ 2 & 5 & 8 \\ 3 & 6 & 9 \end{bmatrix}$$

# GLSL: Macierze

- Konstruktory

```
mat3 i = mat3(1.0); // 3x3 macierz jednostkowa
```

```
mat2 m = mat2(1.0, 2.0, // [1.0 3.0]  
             3.0, 4.0); // [2.0 4.0]
```

- Elementy macierzy

```
float f = m[kolumna][wiersz];
```

```
float x = m[0].x; // element x pierwszej kolumny
```

```
vec2 yz = m[1].yz; // elementy yz drugiej kolumny
```

Macierz jako tablica wektorów

Swizzle

# GLSL: Wektory i Macierze

- Macierz wektor operacje:

```
vec3 xyz = // ...

vec3 v0 = 2.0 * xyz; // skalowanie
vec3 v1 = v0 + xyz; // addycja
vec3 v2 = v0 * xyz; // iloczyn elementów

mat3 m = // ...
mat3 v = // ...

mat3 mv = v * m; // macierz * macierz
mat3 xyz2 = mv * xyz; // macierz * wektor
mat3 xyz3 = xyz * mv; // wektor * macierz
```

# GLSL domyślne funkcje

- Wybrane funkcje trygonometryczne

```
float s = sin(theta);  
float c = cos(theta);  
float t = tan(theta);  
  
float theta = asin(s);  
// ...  
  
vec3 angles = vec3(/* ... */);  
vec3 vs = sin(angles);
```

W radianach

Funkcje również obsługują wektory

# GLSL domyślne funkcje

- Funkcje nieliniowe

```
float x1 = pow(x, y);  
float x2 = exp(x);  
float x3 = exp2(x);  
  
float l = log(x); // ln  
float l2 = log2(x); // log2  
  
float s = sqrt(x);  
float is = inversesqrt(x);
```

# GLSL domyślne funkcje

- Inne funkcje

```
float ax = abs(x); // wartość absolutna
float sx = sign(x); // -1.0, 0.0, 1.0

float m0 = min(x, y); // wartość minimalna
float m1 = max(x, y); // wartość maksymalna
float c = clamp(x, 0.0, 1.0);

// wiele innych: floor(), ceil(),
// step(), smoothstep(), ...
```

# GLSL domyślne funkcje

- Przykład

```
float x = // ...  
float f;  
  
if (x > 0.0)  
{  
    f = 2.0;  
}  
else  
{  
    f = -2.0;  
}
```

`sign(x) * 2.0`

# GLSL domyślne funkcje

- Wybrane funkcje geometryczne

```
vec3 l = // ...
vec3 n = // ...
vec3 p = // ...
vec3 q = // ...

float f = length(l); // długość wektora
float d = distance(p, q); // dystans pomiędzy dwoma punktami

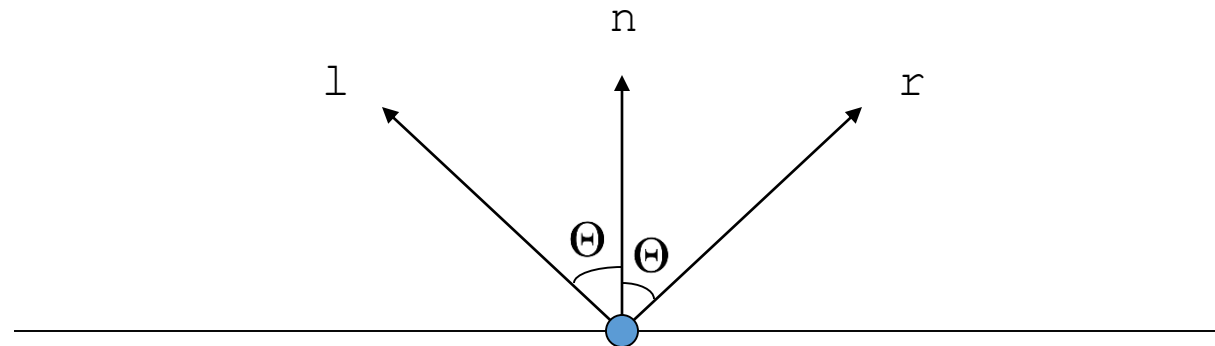
float d2 = dot(l, n); // iloczyn skalarny
vec3 v2 = cross(l, n); // iloczyn wektorowy
vec3 v3 = normalize(l); // normalizacja

vec3 v3 = reflect(l, n); // refleksja
```



# GLSL domyślne funkcje

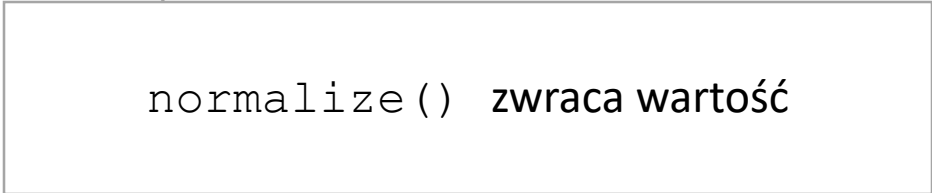
- `reflect(-l, n)`
  - Mając  $l$  i  $n$ , znajdź  $r$ .



# GLSL domyślne funkcje

- Co jest nie poprawne w tym kodzie?

```
vec3 n = // ...  
normalize(n);
```



normalize() zwraca wartość

# GLSL domyślne funkcje

- Wybrane metody numeryczne

```
mat4 m = // ...  
  
mat4 t = transpose(m);           //transpozycja  
float d = determinant(m);       //wyznacznik  
mat4 d = inverse(m);            //macierz odwrotna
```